УЧЕНЫЕ ЗАПИСКИ

АСТРОНОМИЯ ВЫПУСК 9

АСУ ПАССАЖНОГО ИНСТРУМЕНТА



МИНИСТЕРСТВО ВЫСШЕГО И СРЕДНЕГО СПЕЦИАЛЬНОГО ОБРАЗОВАНИЯ ЛАТВИЙСКОЙ ССР

Латвийский ордена Трудового Красного Знамени государственный университет им. Петра Стучки

АСТРОНОМИЧЕСКАЯ ОБСЕРВАТОРИЯ

УЧЕНЫЕ ЗАПИСКИ

латвийского государственного университета им. ПЕТРА СТУЧКИ

TOM 190

АСТРОНОМИЯ ВЫПУСК 9

АСУ ПАССАЖНОГО ИНСТРУМЕНТА В настоящем сборнике научных статей рассматривается разработка системы эвтоматического управления пассажного инструмента. Даны функциональные скемы системы моторов, вращающих пассажный инструмент вокруг осей и исполняющих вспомогательные операции, а также функциональные схемы устроиств для определения среднего момента и его ошибки методом учета случайных выбросов. Подробно рассмотрен вопрос об автоматическом наведении трубы на ввезду. Обсуждены преимущества и недостатки применения стационарных и подвижных дорожек установленных на веркальной решетке.

A 0-2-6-6-074y 73 M 8I2(II)-73

С Редакционно-издательский отдел ЛГУ им.П.Стучки, 1973 г.



ЛАТВИЙСКИЙ ОРДЕНА ТРУДОВОГО КРАСНОГО ЗНАМЕНИ ГОСУДАРСТВЕННЫЙ УНИВЕРСИТЕТ ИМ.П.СТУЧКИ УЧЕНЫЕ ЗАПИСКИ, ТОМ 190, АСТРОНОМИЯ, ВЫПУСК 9, 1973

УДК 522,617.3 и 529.78

А. В. Иванов

АСУ ПАССАЯНОГО ИНСТРУМЕНТА

Для того, чтобы автоматизация наблюдений на пассажном инструменте дала наибольший полезный эффект. система автоматического управления /АСУ/ должна управлять всей совокупностью последовательных операций от наведения трубы на звезду до автоматической записи результатов наблюдений. Устройство для определения среднего момента прохождения звезд [1-3], построенное в АО ЛГУ дает возможность получить результат измерений путем подсчета числа импульсов электронными счетчиками. Подключение к системе устройства для автоматической ваписи со счетчика на перторатор или непосредственно к Цым обеспечивает автомативацию этой части наблюдений. Система автоматической записи с цифровых приборов на перпораторы в нашем случае не имеет специрических особенностей поэтому целесообразно использовать эдесь стандартные уже проверенные на практике приборы.

В данной статье предлагается один вариант АСУ пассажного инструмента. Учитывая вышеупомянутые соображения, особенный упор делается на ту часть системы, которая должна управлять движениями механических частей инструмента.

§ 1. Метод построения электронных логических скем для АСУ

АСУ должна произвести замкнутый цикл определенных действий — шагов, производимых исполнительными устройствами в строгой последовательности. Для правиль ного исполнения шага перед некоторыми надо подавать определенную информацию. В нашем случае эта информация - величина склонения и время запуска исполнительного устроиства для точного наведения. Таким образом, каждое исполнительное устройство должно работать строго определенных интервалах времени. Выбор состояния исполнительного устройства производится схемами комбинационной логики системы. Однако для построения системы управления последовательными операциями однои комбинационной логики не всегда достаточно. Для этого нужны так навываемые последовательные логические схемы, в которых сигналы на выходах определяются не только текущими значениями входных сигналов, но и предыду. цими вначениями этих сигналов. В таких схемах необходимо наличие элементов памяти, поскольку схема должна учитывать предшествующие состояния для правильного исполнения следующих шагов.

Практическое исполнение всех логических схем реаливуется комбинированием элементарных логических ячеек, в таблице 1 показано, какие логические функции реализуют такие элементарные ячейки. Логические функции можно задать в форме уравнений алгебры логики и в табличной форме /таблица истинности/. Принятые в электронике символы тоже можно найти в таблице 1. Все ячейки могут иметь большое число входов /кроме повторителя и инвертора/. В таблице они показаны с двумя входами Е, и Е,

Элементами, из которых состоят логические ячейки, являются резисторы, диоды и транзисторы. Существует несколько способов построения элементарных логических ячеек. Практика показала, что при использовании дискрет ных элементов предпочтение следует отдавать технике ДТЛ /диодно-транзисторная логика/. Схемы ДТЛ могут иметь большое число входов и достаточно помехоустойчивы. Они также имеют относительно большую нагрузочную способность [6]. Основные ячейки ДТЛ — это элемент Пеффера "И-НЕ" и элемент Пирса "ИЛИ-НЕ". Рассмотрим их подробнее, поскольку они будут использованы при

Элементарные логические ячейки

Наимено- вание	Реализуемая функция	Таблица истинности	. Логический символ
Повтори-	Q=E	E Q 0 0 I I	E Q
Инвентор "НЕ"	Q=Ē	E Q 0 I I 0	E DO
Конюнктор	Q=E;E2	E ₁ E ₂ Q. I I I I O O O I O O O O	E, Q
Дисюнктор "ИЛИ"	Q=E ₁ +E ₂	E ₁ E ₂ Q I I I I O I O I I O O O	E, Q
Элемент Шеўфера "И-НЕ"	Q = E ₁ ·E ₂	E E Q I I 0 O I I I 0 I O O I	E. Q
Элемент Пирса "ИЛИ-НЕ"	Q=E1+E2	E ₁ E ₂ Q I I 0 I 0 0 0 I 0 0 0 I	E. Q

постройке АСУ пассажного инструмента АО ЛГУ. Сигналы на входах и выходах логических схем принимают только два значения: высокий потенциал Н, и низкий потенциал L. Условимся, что высокому потенциалу соответствует вначение "1" логической функций а ,низкому потенциалу - "0". Схема "И-НЕ" приведена на рис. 1. Просле-

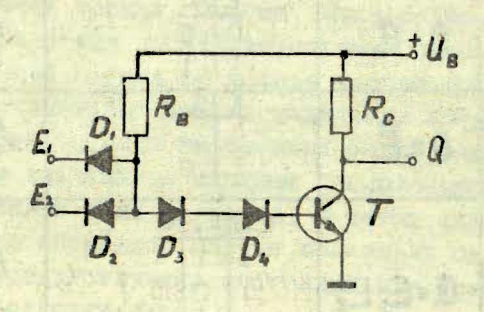


Рис. 1. ДТЛ "И-НЕ" яченка

дим, ка: м образом в ней реализуются все состояния, соответствующие таблице истинности данной функции /см. табл. 1/. Чтобы на выходе схемы получить низкий потенциал относительно общей точки О схемы, нужно привести транвистор Т в насидение. Это произоидет только тогда, когда оба входа Е, Е2 находятся на уровнях с высоким потенциалом Н ,/тогда оба диода D. . D. заперты/. Вследствие этого через цепь R. D. D. проходит бавовый ток транвистора. Чтобы привести транзистор в насыщение. Ra выбирается достаточно малой величины. Если хоть один из входов Е, Е переходит на уровень с нивким потенциалом L , транвистор Т запирается, то есть ток через его коллекторный переход не проходит. Потенциал выхода Q становится равным + U, принимает вначение Н . Это происходит потому, что потенциал точки А схемы стабилизуется отпертым диодом О. /или О. на наименьшем уровне чем порог отпирания последовательно включенных диодов D_3 , D_4 и переход бава-эммитер транвистора. Здесь используются специфические свойства вольтамперной характеристики полупроводникового диода /см. рис. ≥ 1 . Этот случай относится к 2 и 3 строкам таблицы истинности функции "И-НЕ". В случае, когда

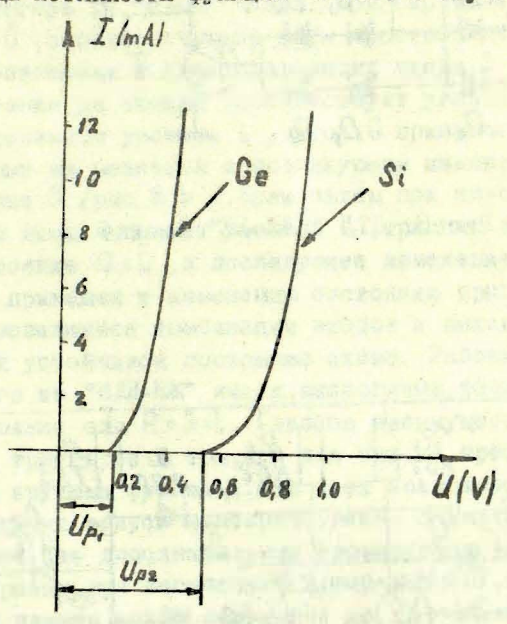


Рис. \ge . Типичный вид прямой ветви вольтамперной характеристики, германиевого (Ge) и кремниего(St) диодов малой мощности. \cup_{P^4} , \cup_{P^2} пороговые напряжения. Если напряжение на диоды меньше порогового - сопротивление диодов велико.

оба входа одновременно принимают потенциал \bot /3 строка таблицы истинности/, диоды включаются параллельно,
потенциал точки А остается приблизительно на том же
уровне, транзистор продолжает оставатся запертым. В
схеме на рис. 3, в противоположность схеме на рис. 1,
достаточно одному из входов находится на уровне Н,
чтобы привести транзистор в насыщение. Поэтому схема
выполняет операцию "ИЛИ-НЕ" / сравнить с табл. 1/. В
этой схеме ток базы может пройти двумя путями: R_{82} ,

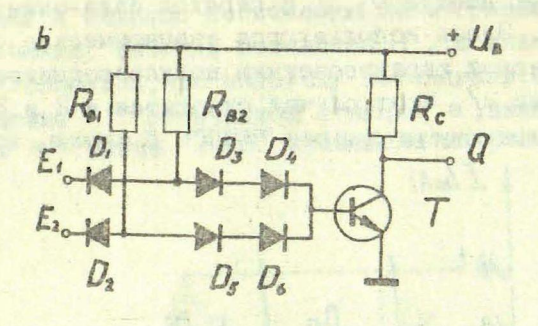


Рис. 3. ДТЛ "ИЛИ-НЕ" нченка.

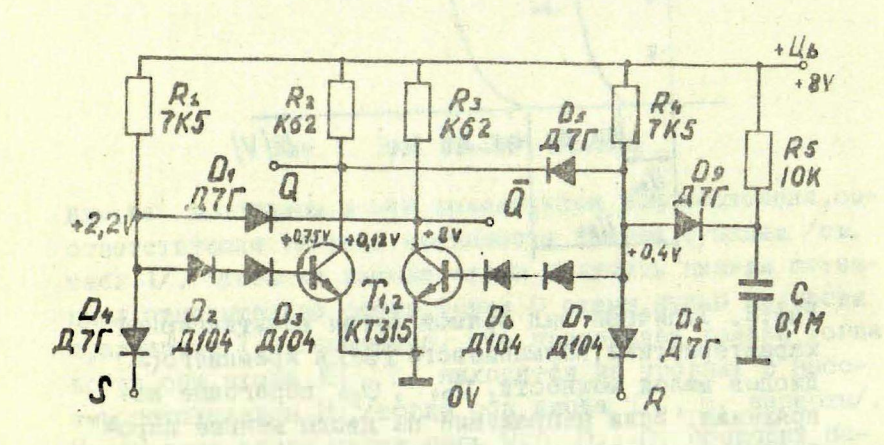


Рис. 4. Практическая схема КЗ-триггера.

Как элемент памяти в логических схемах выгодно использовать статический триггер, который можно построить из двух встречно включенных логических ичеек "И-НЕ" или из ичеек "ИЛИ-НЕ" [7] .Практическая схема статического триггера / RS - триггер/, построенного

из ячеек "И-НЕ" дана на рис. 4. Режимы постоянного тока типичны для данных транвисторов и диодов. Дополнительный вход с диодом D9 и интегрирующей RC цепочкой обеспечивает нужное состояние триггера после включения источника питания U, . На рис. 5 поясняется работа RS - триггера из "И-НЕ" ячеек. Триггер имеет два выхода Q и Q , соответствующие двум противоположным логическим состояниям и два управляющих входа S и R . Обычное состояние на входах соответствует уровню Н .Когда вход S принимает уровень L выход Q принимает уровень Н . который не меняется с последующим изменением уровня на входе S /рис.5 b /. Если ватем при таком состоянии схемы вход ? примет уровень L , триггер возвратится в состояние Q=L, а последующее изменение состоя≈ ния не приведет к изменению состояния триггера.Какпой установившейся комбинации входов и выходов соответствует устойчивое состояние схемы. Работа триггера. состоящего из "ИЛИ-НЕ" ячеек, аналогична, только обычное состояние его R=S=L. Главное преимущество статических триггеров в том, что для них не требуются импульсы с крутыми фронтами, что дает возможность легко обеспечить их вапуск непосредственно с датчиков и внключателей без дополнительных формирующих устройств. Таким образом, все логические схемы для АСУ, включая триггеры намяти, можно построить из нескольких элементарных логических ячеек, что очень выгодно с практической точки врения.

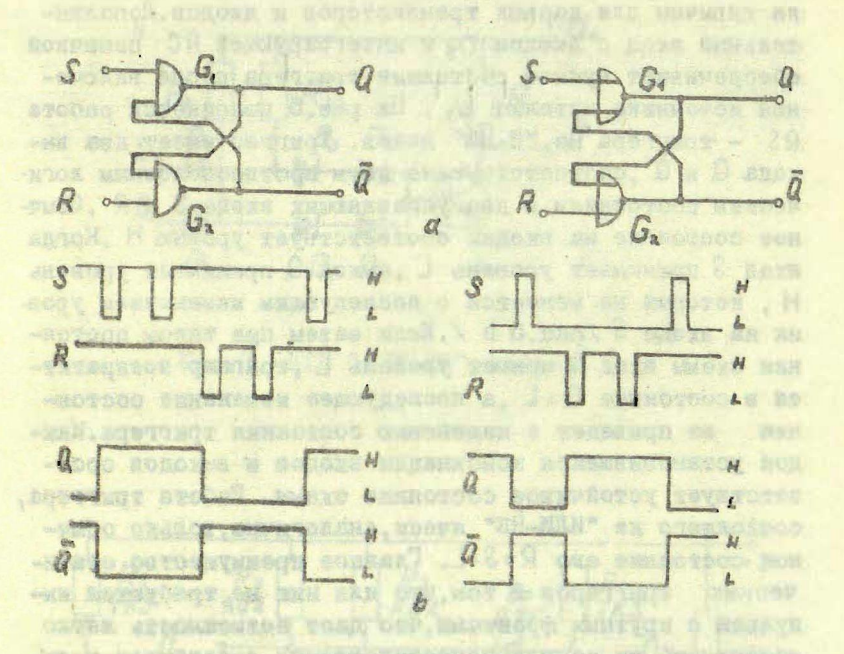


Рис.5. Из "И-НЕ" ячеек со зленный RS-триггер; а/логическая схема, б/сигналы на входах и выходах триггера.

Рис.6. Из "ИЛИ-НЕ" ячеек составленный триггер: а/логическая схема, б/сигналь на входах и выходах триггера.

§ 2. Выбор подхода к построению АСУ

Выбор общего подхода к построению АСУ дает возможность уже в стадии проектировки отыскать более оптимальник вариант ее структуры, а потом при практическом осуществлении резко сократить труд, связанный с переделками и наладками. При этом особенно большое вначение имеют два вопроса: 1/ какая общая структура системы будет оптимальной, 2/ каким образом режить технические вопросы, связанные с созданием надежной помехоустойчивости электроники. При выборе общей структуры системы мы руководствовались следующими соображениями. Система, при которой выход из строя отдельного блока не приводит к полной потере работоспособности более выгодна. Например: если вышло из строя устройство автоматической записи результата наблюдений, отсчет может быть произведен оператором, если предусмотрена также визуальная индикация состояния счетчиков. Из тех же соображений выгодно иметь возможность ручного ввода информации в случае выхода из строя устройства автоматического ввода информации.

в процессе настройки и ремонта исполнительных устройств оператор должен наблюдать за движениями инструмента. Эти соображения привели нас к идее переносного пульта управления с ручным вводом информации, к которому может быть подключено устройство автоматического ввода информации. При современном состоянии электроники это легко обеспечить.

В нашем случае очень важен вопрос о помехоустойчивости электронных логических схем. Механические исполнительные устройства, датчики и конечные выключатели будут находиться на весьма большом расстоянии от пульта управления. Это связано с большой интенсивностью помех на входах электронных логических блоков. Электрические вапоминающие устройства - триггеры чувствительны к импульсным помехам. Запоминание ими ложных мгновенных вначений входов и выходов схемы приводит к неправильному функционированию системы. В работе [8] предлагается радикальное решение этого вопроса: функции памяти реализуются самими механическими исполнительными элементами системы, а на электронных схемах выполнена только комбинационная логика. Вследствие большой инерционности механических исполнительных устройств система оказывается нечувствительной к электрическим шумам и переходным процессам в цепях питания. Однако анализ последовательности операции на пассажном инструменте показал, что в нашем случае нецелесообразно целиком использовать этот метод.lloэтому, чтобы свести до минимума влияние электрических помех на систему, мы выбрали путь построения, описанный в работе [9]. Этот вариант предусматривает уже в начале синтева системы выбрать число триггеров памяти бливкое минимально возможному. Такой путь решения, как показано в той же работе, дает также возможность при постройке системы снивить число употребляемых радиокомпонентов. Это обстоятельство играет немаловажную роль в обеспечении надежности АСУ.

§ 3. Описание АСУ пассажного инструмента АО ЛГУ

Нами спроектирована АСУ для уже существующего пассажного инструмента АПМ-10 с учетом своиств кон-кретных исполнительных механизмов, описанных в работах [4],[5].

Для выполнения каждой операции нами используется отдельный механизм, приводимым в деиствие электродеига-телем. Рассмотрим особенности всех исполнительных устройств.

1/Mеханиям поднятия и опускания горизонтальной оси иструмента имеет реверсируемый электродвигатель M_h с двумя электрическими входами: для прямого хода M_{h+} и обратного хода M_{h+} . Нижнее положение оси покавывает конечный выключатель S_{h+0} , верхнее-выключатель S_{h+0} .

2/ Механизм поворота инструмента при перекладке в лагерах вокруг вертикальной оси имеет реверсивный цвигатель M_{ow} . Его вход для прямого хода обозначен $M_{o\to w}$, а вход обратного хода $M_{w\to o}$. Лонечные выключатели S_o , S_w показывают, где находится конец горизонтальной оси с фотоэлектронными умножителями: на восточной 0 или на вападной W стороне неба соответственно.

3/ Поворот трубы миструмента вокруг горизонтальной оси на требуемое предварительное зенитное расстояние осуществляется вспомогательным механивмом, имеющим два крайних положения. Перед перекладкой /поворот во-

Таблица состоянии датчиков, конечных выключателей и триггеров памяти АСУ

F				Дат	UNN				3	Триг	геры		Действия исполнительных устройств				
	Sc	Sw	Sos	Scn	Shipe	Sh-0	SN	Sazac	Fı	Fa	F3	F4					
1	0	1	0	1	1	0	1	0	0	0	1	1	Команда "старт" M_Z начинает врадать трубу в направлении $S \to N$.				
2			1							Si	1 1/		М _z продолжает вращать трубу в напр. S→N				
3	F								1				Совпадение от счетчика угла поворота Остановка M_z . Закрепление M_z .				
4										1			Сигнал от счетчика времени. Мод начинает действовать.				
5								1			0		Мах действует. М _х отпускание.				
6									0				Труба наведена. Работает измерительное устройство.				
7										0			Конец измерений. М дл пвижется дальше				

/продолжение теблицы/

H				Дато	INKM			4		Tpi	urre	M. M.	Действия исполнятельных устройств		
	S.	Sw	Sos	Son	Shipo	Sh=0	Sn	Saza	F4	Fe	F3	F ₄			
8								0					Остановва $M_{\Delta Z}$, M_Z вращает трубу дальше в направлении $S \to N$		
9			To the second	0			-						Mz остановился. Труба наколится в пр нем северном положении. М _h начинает действовать.		
10						1							Мы поднимает горизонтальную ось инструмента		
-11	0	1	1	0	0	1	1	0	0	0	0	1 7 115	М _в остановился. М _{сw} начинает вращать горив. ось в направлении 0 → W.		
12	1	1	1	0	0	1	1	0	0	0	0	1	М _{сw} вращает горизонтальную ось в на- правлении 0 ÷ W		
13							0				1		Мом останавливает ось в направлении S→		
#	- 1												$N \cdot M_{z}$ начинает вращать вспом. механиви $N \rightarrow S$.		
14				1			1						М _ж вращает вспомог.механизм в направлении N → S		

/продолжение таблицы/

Nº.				Да	TUUR	н				Tp	иггер	P	Действия исполнительных устройств			
	Sc	Sc Sw	Ses	Sen	Shec	Sh=0	Sn Sa	SAZED	F,	F <u>o</u>	F ₃	F.,				
15													М _Z остановился. М _{ож} продолжает движение			
16		0											Mow остановится. Мы начинает спуск горизонтальной оси			
17					1								М _н продолжает спуск			
18	1	0	0	1	1	0	1	0	0	0	1	1	Горивонтальная ось опущена. М _z начинает вращать трубу S-N по предв. установки			
													Происходят те же действия, как от 1-го до 9-го			
26	1	0	1	0	1	0	1	0	0	0	1	0	Начинается наблюдения следующей ввезды			

нруг вертикальной оси на 180°/ вспомогательный механизм и вместе с тем и труба должны находится в одном из крайних положений с максимальным наклоном на север или на юг. Эти положения показывают соответственно датчики Sos и Son . Первый индекс указывает на место нахожиения вспомогательного механизма. Для того, чтобы другой конец горизонтальной оси во время перекладки не касался вспомогательного механизма, примерно к середине перекладки вспомогательний механизм должен быть переведен в другое крайнее положение. Поэтому перекладка разделена на пра шага. В промежуточном состояним, когда ось принимает направление север-юг срабатывает датчик S, который дает команду остановить врацение вокруг вертикальной оси. Потом следует перекладка вспомогательного механивма в другое крайнее положение. Только потом процолжается вращение оси инструмента. Очень выгодно отсчет угла поворота производить как раз из обеих крайних положений труби Sos и Son . В связи с этим нами предусмотрено каждую ночь наблюдение данной ввевды начинать с одного и того же состояния датчиков положения трубы So и Sw поэтому в программе легно задать нужный угол поворота. Метод отсчета угла с двук - айних положений максимального наплона удобен с той точки врения, что ввезды, близкие к вениту, наблюдаются чаще всего. Если отсчет вести от точки венита, то для установки угла механизм должен работать короткое время рывками, что трудно осуществить, т.к. нужно точно индицировать венитное положение трубн. Этот меканизм приводится в движение реверсивным двигателем М., Его электрические входы для поворота в направлении на север или на юг обозначены соответственно Мания Миня.

4/ Закрепление инструмента по венитному расстоянию производит электромагнитное исполнительное устройство М_х, когда на его вход подан соответствующий сигнал.

5/ Предложенный нами механизм для точного наведения труби на эвезду не требует реверсивного электродвигателя. Двигатель для точного наведения имеет один электрический вход $M_{\Delta Z}$. Начальное состояние этого исполнительного устройства показывает конечный вы-

Основой для синтева логических схем АСУ является "Таблица состояний датчиков конечных выключателей и триггеров памяти АСУ". В таблице даны также словесные пояснения действий исполнительных устройств для каждого положения. Таблица начата с положения, когда труба находится в крайнем южном положении $S_{cs} = 0$

Последовательность операций для одной ввезды целесообразно разделить на три этапа: с 1 по 9 положения - подготовка к наблюдению перед кульминацией; с 10 по 18 положения - перекладка инструмента в лагерах; с 18 по 26 положения - подготовка к наблюдению после кульминации.

Как видно из таблицы, коды состояний 1 и 18 отличаются только вначениями So и Sw. т.е. величина угла поворота для предварительной установки до и после перекладки не меняется. Это является следствием того, что крайние положения симметричны относительно венита. После 18-го положения начинаются операции для регистрации моментов прохождения после перекладки. Они полностью совпадает с операциями в положениях с 1 по 9. Однако цикл не ваключается после одной, а только после наблюдений двух эвезд, когда So, Sw 7 Sos и Son принимаот свои первоначальные вначения. Соответствующую информацию можно найти в триггере памяти Е. Логические операции, заданные таблицей состояний, реализует схема /см.приложение 1 в конце настоящего сборника "Логическая схема АСУ для пассажного инструмента"/, которая построена методом комбинирования элементарных логических ячеек. Рассмотрим особенности схемы и проследим, какие операций должен будет проиввести наблюдатель, работая с ручным вводом информации.

Если до начала наблюдений инструмент находится согласно нумерации "Таблицы состояний" в положении 1, первым действием наблюдателя является ввод при помощи клавишей значения угла поворота в счетчик предварительного выбора ПВ/Z и ввод показания секунды в счет-

BIBLIOTEKA 1540-12-43 чин ПВ/ t . Счетчики ПВ/ Z . ПВ/ t выдают сигналы в моменты, когда число импульсов поступивших на их входы совпадает с предварительно устанавленными значениями Z и t соответственно. Только после того, как на электрические входы моторов подается разрешающий сигнал /переключатель Р, переводится в положение "работа"/ начинает работать мотор М, механияма для предварительной установки Z .Черев каждый градус поворота трубы фотоэлектрическое считивающе устройство выдает импульс. Эти импульсы поступают на счетчик ПВ/г .После выдачи счетчиком IIB/ Z импульса совпадения триггер F1 переходит в состоянии 1. Блок комбинационной логики L/Mzснимает сигнал с входа Ms+N. Одновременно с этим блок L/Мх дает сигнал устройству М для закрепления инструмента по венитному расстоянию. Но действие мотора Мах начинается только после появления сигнала от счетчика времени ПВ/t и его воздействия на триггер F2, который устанавливается в состояние 1. Действие Мах и Мх прекратится в момент получения сигнала от индикаторного устройства точного наведения, выход которого подключен к входу R триггера F1 /от этого сигнала триггер переходит в состояние 0 /. Быстрая остановка вращения трубы достигается ва счет мгновенного прекращения действый электромагнитного исполнительного устройства Мх .Движение мотора МАZ продолжится после того, как от ивмерительного устройства поступит сигнал, свидетельствующий об окончании регистрации моментов прохождения. Таким образом, Мах при установке трубы по венитному расстоянию проделывает вамкнутым цикл в двух этапах. В случае, если сигнал от индикатора точного наведения не поступит, механизи Мах возвратится в исходное состояние без промежуточной остановки. Для обнаружения такого состояния нами предусмотрена предупредительная система А ії, которая парабатывает сигналы вапрета для логических схем С., .., С., и дальненшая работа системы прекращается. После этого, наблюдатель должен отключить переключатель Р в положение "стоп" и выяснить причину несрабатывания индикатора точного наведения. Если причиной является облачность, то

после прояснения можно продолжать наблюдения. Следует учесть, что АСУ требует для каждой ввезды определенное положение конца оси с фотоумножителями. Следовательно, при продолжении наблюдений может понадобиться движение механизмов для перевода инструмента в нужное начальное состояние. Для этого предусмотрено ручное управление триггеров ст кнопок К₁. К₄. Нажатием этих кнопок можно имитировать подачу информационных сигналов на входы триггеров.

Выбранный нами способ управления — для каждой ввевды начинать с одного и того же положения инструмента — позволил значительно упростить схемы для АСУ. Но если это будет приводить к систематическим ошибкам, то следует создать два набора программ.

Вся система спроектирована таким образом, чтобы была возможность дополнительной противоаварийной защиты. Рассмотрим, какие в основном меры нами предусмотрены для того, чтобы аварийные ситуации не привели к разрушению инструмента. Для индикации ложных комбинаций состояний датчиков и дополнительного контроля ва работой исполнительных устройств нами предусмотрен логический блок для индикации аварий А Т . Входными величинами этого блока являются не только состояния уже упомянутых выше датчиков, а также дополнительно состояния таких датчиков, которые установлены в равных частях инструмента или следят ва исправностью исполнительных устройств. Например, необходимо проконтролировать, чтобы не начало работать устройство Ми поворота трубы инструмента на предварительное зенитное расстояние в случае, если вышло из строя устройство закрепления Мх /стопорный винт все время прижимается/.Однако полностью исключить опасность аварии только за счет дополнительных электронных блоков контроля невовможно. Они сами могут выйти из строя. Для таких случаев все моторы предусмотрены со скользящими сцеплениями, которые при нагрузках, больше требуемых, не передают пвижения от вала мотора на механиям. Целесообравно предусмотреть автоматическое отключение питания мотора, если электрическая нагрузка мотора превышает допустимый предел.

Литература

- 1. Штейнс К.А. и Огриньш М.П. Устройство и метод регистрации моментов прохождений звезд с учетом выбросов. Уч. зап. ЛГУ, том 148, вып. 6, 3, 1971.
- 2. Огрины М.П. Устройство для определения среднего момента прохождения ввезд. Уч. зап. ЛГУ, том 169, вып. 7, 1972.
- 3. Огрины М.П. О настройке генератора меток устройства для определения среднего момента прохождения ввезд. Наст. сборник 64.
- 4. Штейнс К.А. и Иванов А.В. Автомативация пассажного инструмента. Уч. вап. ЛГУ, том 169, вып. 7, 1972.
- 5. Иванов А.В. К вопросу об автомативации пассажных инструментов. Уч. вап. ЛГУ, наст. сборник 71.
- б. Христиансен П. В поисках оптимальной логической системы. ∂лектроника, № 5,3-12, 1967, русский перевод.
- 7. Bistabile Kippstufen. Arbeitsblatt Nr. 47, Hafte 5 und 6. Elektronik 1970.
- 8. Fugh A., Woodword M.E. A modular approach to segyential control, "Radio and Elektron. Eng.", 42, Kr.1, 45-51, 1972. Русский перевод, Экспресс-информация, Приборы и элементы автоматики. М., # 24, 24-34, 1972.
- 9. Scheltwerke entwurf mit Hilfe von Ubergangsdiagrammen.
 Loeungsweg Code-Steuerung, Elektronik, P. 9,
 307-310, 1970.

A Septem of Annie Company of the Com

THE RESIDENCE OF THE PARTY OF THE PARTY OF

Ревюме

А. В. Иванов

АСУ ПАССАЖНОГО ИНСТРУМЕНТА

Разработана система автоматического управления для уже имеющегося пассажного инструмента АПМ-10. Система приспособлена к устройству, разработанному в АО ЛГУ. АСУ исполняет следующие действия: 1/ поднятие и опускание горизонтальной оси инструмента, 2/ перекладку в лагерах, 3/ закрепление инструмента по венитному расстоянию, 4/ установку труби по венитному расстоянию. Четвертая операция происходит в два этапах: 1/ предварительная установка на требуемое зенитное расстояние, 2/ точная установка изображения ввезды на середине дорожки, черев которую падает свет на ФЭУ.

Электронная схема АСУ содержит четыре триггера памяти, логические блоки для исполнительных устройств и счетчики импульсов предварительного выбора для установки необходимого угла поворота трубы и для выработки командного импульса, который в нужное время приводит в действие механиям точного наведения. Приведены также электрические схемы логических ячеек из которых построена система.

Иллюстр.: 6, табл.: 3, библиогр.: 9 навв.

believing out comment in the sefficient content to benefit to

Kopsavilkums

A. Ivanovs

PASÄŽINSTRUMENTA AUTOMATISKĀS VADĪBAS SISTĒMA

Izveidota sistēma pasāžinstrumenta A N - 10 vadīšanai. Tā ir piemērota iekārtai,kas izstrādāta LVU AO.

AVS izpilda šādas darbības: 1) instrumenta horizontālās ass pacelšana un nolsišana, 2) pārlikšana als ,3) instrumenta stāvokļa fiksēšana pēc senlīdistances, 4) senlītdistances iestādīšana. Pēdējā operācija notiek divos paņēmienos: 1) iepriekšēja senlīdistances iestādīšana, 2) svaigsnes attēla precīsa iestādīšana spraugas vidū, caur kuru
krīt gaisma us fotoelektronu paveirotāju. Avs elektroniekā
ehēma ietver četrus atmiņas trigerus, loģikas blokus katram
ispildītājmehāniemam un impulsu skaitītājus ar iepriekšēju
izvēli. Ar priekšizvēles skaitītāju palīdsību iestāda zenītdistanci un izstrādā komandes signālu, kas vajadzīgajā
brīdī iedarbīna zenītdistances precīzēs iestādīšanas mehāniemu. Dots arī elektronu shēmu apraksta no kurām uzbūvēta shēma.

Summary

A. Ivanova

SYSTEM OF AUTOMATIC STEERING FOR THE TRANSIT INSTRUMENT

The system of automatic steering for the transit instrument A M = 10 is developed. The system is applied to the device in the AO of the Latvian State University.

The system of automatic steering carries out the following operations: 1) to lever up and down the horizontal axis of the instrument, 2) to reverse the transit instrument i.e. to turn its axis through 180°, 3) fastering of the instrument for rough setting in a given zenith distance, 4) setting the tube precisely in the given zenith distance. The last operation is carried out in two stages: 1) preliminary setting in the approximaterly necessary zenith distance, 2) exact setting of the image of the star in the middle of the track through which light is passing to a photomultiplier.

The electronic circuit of the system of automatic steering countains four memory flip-flops, logic circuits to operate accomplishing devices and preset counters for setting the necessary turn angle of the tube as well as working out command in the definite moment to operate the device of exact setting. The electrical circuits of logic elements the system is constructed from, are also given.

ЛАТВИЙСКИЙ ОРДЕНА ТРУДОВОГО КРАСНОГО ЗНАМЕНИ ГОСУДАРСТВЕННЫЙ УНИВЕРСИТЕТ ИМ.П.СТУЧКИ УЧЕНЫЕ ЗАПИСКИ, ТОМ 190, АСТРОНОМИЯ, ВЫПУСК 9, 1973

УДК 522.52

К. А. Штейнс м. П. Огриньш А. В. Иванов

ОБ ИСПОЛЬЗОВАНИИ ПЕРЕДВИЖНОЙ ДОРОЖКИ ПРИ НАБЛЮДЕНИИ ПРОХОЖДЕНИЯ ЭВЕЗД

Чтобы избавиться от влияния фона неба, в службе времени Латвийского государственного университета веркальная визирная решетка, установленная в фокальной плоскости пассажного инструмента, закрывалась черной бумагой с двумя щелями которые были установлены перпендикулярно бесколимационной линии.т.е. перпендикулярно щелям веркальной решетки. Ширина щелей решетки 0,1 мм. Длина щелей - дорожек - примерно 1,5 мм /примерно 15 пересечений/. Расстояние между дорожками примерно 2,8 мм. С такой дорожкой наблюдения велись с 1964 по 1968 годы. Так как приходится долго ждать появления северных звезд после перекладки инструмента в лагерах, то нами [1] было предложено фотоэлектрические наблюдения на пассажном инструменте с перекладкой лагерах проводить с передвижной дорожкой, т.е. дорожку /щель/, по которой движется изображение ввезды в фокальной плоскости /длинную щель/, закрыть ширмой с отверстием причем ширму . т.е. отверстие . устанавливать ближе или дальше от бесколимационной линии в зависимости от склонения наблюдаемой эвезды. В службе времени Латвийского государственного университета передвижная дорожка успешно применяется с 1968 года. Интенсивность наблюдений звезд возросла на 30%. Регистрация моментов проходила на печатающем хронографе [2].

При регистрации нередко имелось дробление контактов. Много времени занимало отождествление контактов, т.е. нахождение тех отпечатков на ленте, которые после и перед кульминацией были отмечены на том же самом крас той же шели. Число наблюденных контактов от ввезды к ввезде и от ночи к ночи менялось, хотя в первом случае наблюдалось на той же самой дорожке, а во втором -при отверстии с постоянной длиной. Нами 3-4] был предложен метод автоматического определения среднего момента прохождения ввезд с учетом случайных выбросов и построен соответствующий прибор. При наблюдениях с подвижной дорожкой методом учета случайных выбросов вовникает ряд трудностей, которые связаны со следующими особенностями: 1/следует наблюдать прохождение изображения звезды через определенное количество щелей / 12 пересечений/, притом на тех же самых краях перед и после переклацки инструмента в лагерах; 2/неизвестно точное положение подвижной дорожки; 3/при наблюдениях прохождения звезд в отсутствие наблюдателя некоторая часть дорожки отводится для устанавления ввезды по венитному расстоянию [5] .В настоящей статье предложено несколько способов автоматического определения среднего момента прохождения ввезди методом учета случайных выбросов с применением передвижной дорожки. Предлагается несколько способов в зависимости от применяемого вида визирной решетки с широкими поперечными на концах дорожки и без них, а также в зависимости от того, насколько точно устанавливается на том же самом месте передвижная дорожка при ее повторных передвижениях. Интенсивность наблюдений звезд увеличивается также, если неподвижные щели расположить сравнительно близко к бесколимационной линии и экваториальные ввеним наблюдать без перекладки инструмента в лагерак. В этом случае следует иметь программу наблюдений ввезд. в которой каждой экваториальной звезде соответствует другая с таким же склонением. Звезды, образующие пары, следует наблюдать при противоположных положениях горизонтальной оси, исключая таким образом колимацию. Наклон оси можно определи по отсчетам уровня, интерполируя положения нуля уровня поданным полученным для ввезд из наблюдений с перекладкой инструмента в лагерах. Длины и положения стационарных дорожек должны быть согласованы с учетом выводов § 2.

§ 1. Зеркальная решетка с широкими поперечными целями на концах дорожки

Чтобы установить трубу по венитному расстоянию, предполагается в начале и в конце дорожки иметь по две широкие поперечные щели: одну проврачную, другую отражающую. Зеркальная решетка уменьшает влияние изменения фона неба /рис. 1/.

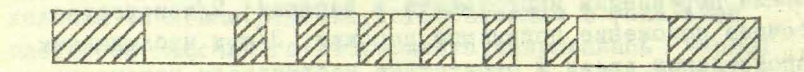


Рис. 1 Дорожка с поперечными щелями и 4 широкими поперечными щелями на концах дорожки

Установление трубы по зенитному расстоянию и регистрация моментов прохождений происходит следующим образом. В соответствующий промежуток времени труба перемещается по зенитному расстоянию до тех пор, пока изображение звезды не пересечет одну из широких щелей, находящуюся в начале дорожки. В этот момент свет от звезды попадет на фотоумножитель и возникнет сигнал, который остановит мотор, перемещающий трубу по зенитному расстоянию. Так как известна яркость звезды и наблюдаются достаточно яркие звезды, то порог для индикации появления сигнала можно установить столь высоким, чтобы сигнал не появлялся из-за помех.

Визирная решетка состоит из четнрех дорожек с широкими поперечными щелями в начале и конце дорожек. Остальная часть фокальной плоскости вакрыта. Отверстие ширмы следует помещать на той дорожке, через которую проходит ввезда.

Логическая система регистрирующего устройства должна быть построена так, чтобы построение меток и суммирование длительностей выбросов началось только тогда когда осуществлены следующие два условия в укаванном порядке: 1/пересечение порога, который констатирует, что изображение звезды вошло на вторую широкую поперечную щель; 2/пересечение порога уровня регистрации. Если имеется опасение, что начальные условия повлияют на запаздывание, то можно увеличить число поперечных целей и их не использовать для регистрации, а только для установления режима. То обстоятельство, что следует иметь в фокальной плоскости инструмента четыре дорожки, затрудняет экранизацию ложных изображений ввезд. Поэтому нами предложено помещать дорожки среди двух призм, которые склеиваются канадским бальзамом /рис.2/. На поверхность одной из призм следует нанести непроврачным слой как можно меньшей отражательной способности. Таким образом, создается внутренний экран с прозрачными щелями. На поверхность другой привмы наносятся узкие цели с широкими поперечными целями концах. Соединение обеих поверхностей происходит специально сделанным отметкам, которые гарантируют перпендикулярность дорожки к поперечным целям с точностью ±1'.

В случае применения зеркальных решеток на плоскопараллельной стеклянной пластинке с клином для устранения ложных изображений звезд можно широкие поперечные щели поместить на ширме передвижного отверстия.
Поперечные щели будут отражающими и будет иметь место
влияние изменения фона неба. Кроме того, трудно осуществить, чтобы поперечные широкие щели являлись продолжением дорожки. Можно также широкие щели поместлть
в искатель. В рассматриваемом случае возникают трудности, связанные с тем, что неизвестно, какое положение
заняло отверстие ширмы относительно щели. Эти трудности можно преодолеть подбором оптимальной длины отверстия. Трудности преодолеваются одинаково как в случае
полностью автоматизированных наблюдений, так и в слу-

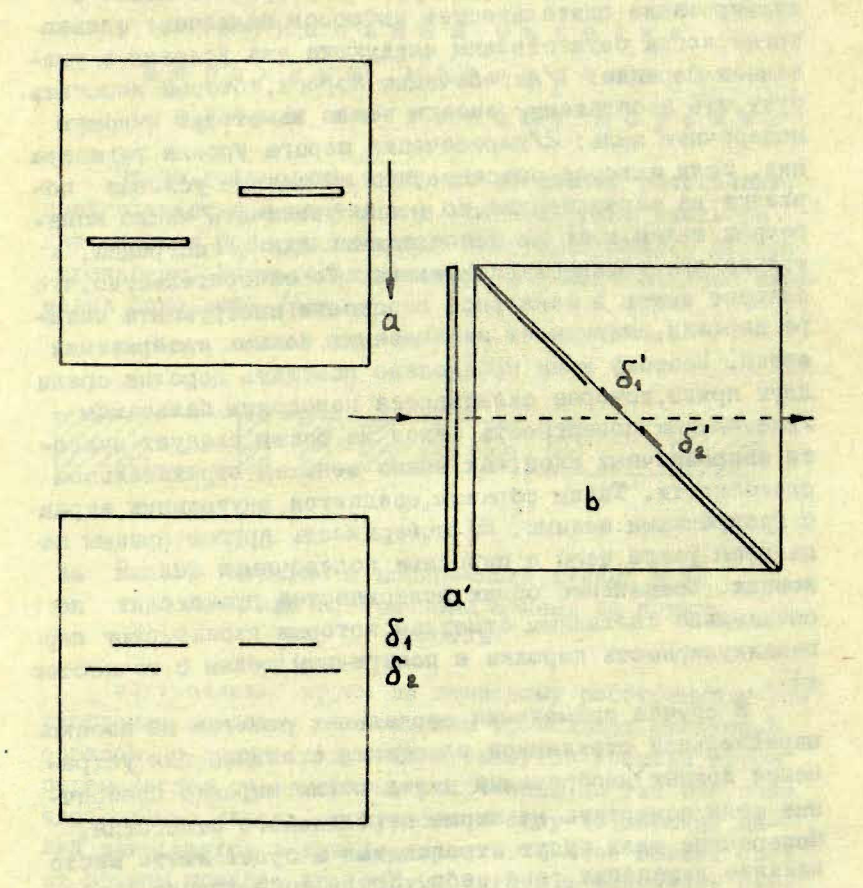


Рис. \geq Привма с дорожками и экраном. Поперечное сечение: Q — экран со целями, δ_1 , δ_2 —привма с дорожками ввезд. Продольное сечение: Q' — экран, δ_1' , δ_2' — дорожки ввезд, b — внутренний экран.

чае присутствия наблюдателя, только с той разницей, что соответствующие действия в первом случае исполняет автомат, а во втором случае — человек. Решение проблемы дано в § 2.

§ 2. Наблюдения с передвикной дорожкой на поперечных целях одинаковой ширины

Проведем анализ возможных положений отверстия относительно поперечных щелей одинаковой ширины веркальной решетки /рис.3/. Рассмотрим два случая: а/ длина отверстия d находится в пределах

2nd < d < (2n+1) do,

и 6/ длина отверстия d_1 находится в пределах, $(2n-1) d_0 < d_1 < 2n d_0$,

где и целое положительное число, $d_{\mathfrak{g}}$ - ширина поперечной цели.

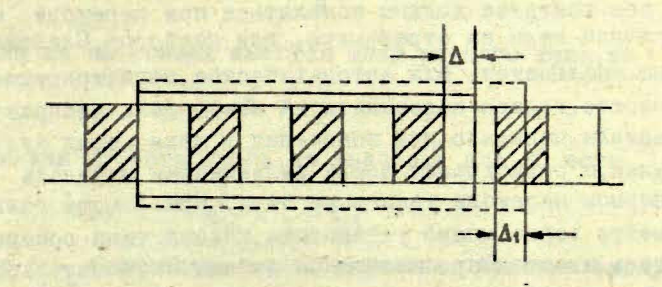


Рис. 3. Щель с отверстием в двух положениях.

На рис. З показаны оба случая а/и б/ в положении, когда левый край отверстия совпадает с краем одной из поперечных щелей. Если в случае а/ отверстие переместим вправо до совпадения правого конца цели с краем бликайшей цели, то в отверстие будет видно 2 м

края щелей, если же переместим влево, то будет видно 2и+ края. Эти случаи различимы т.к. в первом на коннах отверстия бунут видны опинакового вида цели.т.е. обе отражающие, а во втором - щели противоположного типа, т.е. одна отражающая, а другая проврачная. Нет надобности проводить аналия в случае дальнейшего пепедвижения щели.т.к. для анализа безразлично, который из концов отверстия совмещен с краем поперечной щели. В случае о аналогично получаем следующим закон: если на обоих концах отверстия видны щели одинакого то в отверстии имеется 2 п края, если же на концах вицны щели противоположного типа, то в отверстие видно 2 и-1 края шелей. Если мы желаем при всех положениях щели наблюдать максимально возможное одинаковое число пересечений, то в случае а/ это будет четное число контактов, а в случае б/ - нечетное число контактов. Построенний нами прибор [4] регистрирует четное число контактов, поэтому более подробно рассмотрим случай а/. Для этого случая имеется следующее правило. 1. Чтобы наблюдать максимально возможное четное число проколдений через края поперечных щелей первый контакт перед кульминацией должен быть одинакового типа с первым колактом наблюдаемым после кульминации т.е. оба контакта должны появляться при переходе прозрачной щели на отражающую, или наоборот Следовательно, наблюдатель, или автоматическое регистрирующее устройство, должен запоминать, на какую щель изображение ввезды попадало при появлении в щели перед кульминацией и регистрацию после кульминации начинать при первом переходе такого же типа. При помощи гальванометра легко можно установить какого типа поперечная щель имеется при появлении звезды. Следовательно. если регистрация ведется наблюдателем, нет принципиальных трудностей применения подвижной дорожки. Если же наблюдения происходят без наблюдателя, то типы первых контактов должны быть согласованы автоматически (\$4) .

§ 3. Оптимальная длина отверстия передвижной

дорожки

В этом параграфе рассмотривается случай, когда целая часть длины отверстия в единицах длин поперечных целей есть четное число 2 п. На основании рис. 3 и анализа, проведенного в § 2, можно утверждать, что если отверстие расположено так, что на его концах имеются щели одинакового типа, то сумма длин видимых частей щелей на концах равна

где $2n+\Delta$ — длина отверстия ($d_c=1$). Ив всех возможных положений отверстия на релетке выцелим наиболее невыгодние для регистрации положения следующим образом. Во-первых, выделим в любом положении наибольшую часть поперечной щели на концах отверстия. Во-вторых, из всех таким образом выделенных длин найдем наименьшую и обозначим ее через Δ^c . В случае, если на концах имеются щели одинакового типа, то

$$\Delta^0 = \frac{1+\Delta}{2} .$$

Если же на концах имеются щели разного типа, то

$$\Delta^{\circ} = \frac{\Delta}{2} .$$

Так как Д есть дробь, то значение для Д есть

$$\Delta_{m}^{o} = \frac{1}{2} - \varepsilon,$$

где ε — бесконечно малая величина. Максимальному вначению Δ_m° соответствует оптимальная длина отверстия передвижной дорожки. Действительно, чем большую длину имеет видимая часть поперечной щели на конце отверстия, тем более уверенно ее обнаружить. При вначении $\Delta_m^\circ = \frac{1}{2} - \varepsilon$, $\Delta = 1 - 2\varepsilon$, т.е. в случае одинакового типа щелей на концах отверстия обе щели имек с точностью до бесконечной малой величини длину 1, т.е. практически

максимальную величину. Если же на концах отверстия имеются щели противоположного типа, то при регистрации один контакт следует пропускать, причем безразлично с какого конца. При наблюдении предельно слабых естественно он будет пропущен с конца, где длина видимой части щели меньше. Однако если перед кульминацией регистрация случайно начнется после меньшей длины видимой щели, то после кульминации большая часть должна быть пропущена и регистрация начнется прохождения изображения звезды черев полностью открытую щель.т.е. максимально уверенно. Таким образом. самом неблагоприятном случае для регистрации моментов прохождений с применением подвижной дорожки, которая останавливается в произвольном положении и имеет оптимальную длину, необходимо уверенно обнаружить появление звезды на половине поперечной щели. Следовательно, чтобы выяснить до которой ввездной величины можно наблюдать с нефиксированной дорожкой следует выяснить. сколько теряется интенсивности, если ввезда помещается на щели, половина которой вакрыта с двух сторон, сравнению со случаем, когда изображение ввезды помещается на всей цели. Следует учесть, что с одной стороны ввезда закрыта экраном, а с другой стороны целью противоположного типа.

К.А. Штейнс, Э.Я. Каупуш и Р.К. Калнинь [6-7] нашли распределение интенсивности в ивображении авевды в случае плохих и в случае хороших условии наблюдений для пассажного инструмента АПМ-10 при фотоэлектрических наблюдениях. Средние вначения данных, ваятых из работ [6-7], приведены в таблице 1. Данные, помещенные под навванием "плохие условия", вычислены в предположении, что хроматические кружки рассеяния для каждого цвета равномерно засвечены и что для длины волны, в фокусе которой помещена визирная решетка, диаметр кружка равен 0,022 мм. Данные под названием "хорошие условия" получены как дифракционное явление Фраунгофера на круглом отверстии различных длин сферических волн.

Ив таблицы і видно, что в случае плохих условий

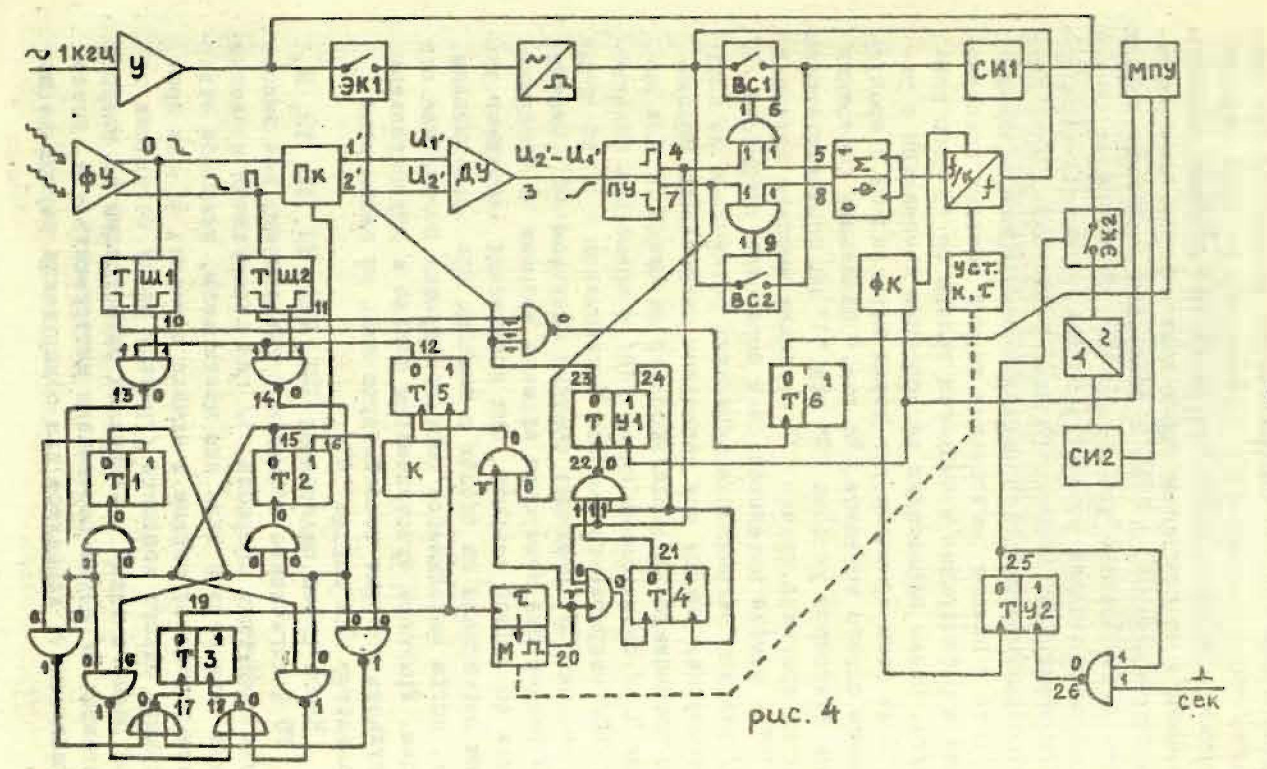
Распределение интенсивности в изображении звезды

Расстояние от центра звезди в миллиметрах	0,00	0,01	0,02	0,03	0,04	0,05	0,06
Хорошие условия	1,00	0,09	0,05	0,04	0,03	0,02	0,02
покие условия	1,00	0,52	0,35	0,24	0,13	0,06	0,02

наблюдений изображение звезды полностью помещается на щели ширином в 0,1 мм. Если же изображение ввезды появится на конце щели и ее половина поместиться на видимой части этой щели,т.е. на половине щели, то интенсивность будет вдвое меньше, чем если бы изображение появилось на всей цели. Следовательно, наблюдателю покажется, что ввезда имеет блеск меньший на 0,8 ввездных величин. При дальнейшем передвижении изображения ввезды интенсивность света от ввезды увеличится, т.к. из-ва экрана появится некоторая часть изображения ввевды, и уменьшится вследствие того, что некоторая внешняя часть изображения перейдет на щель противоположного типа. Приближенный подсчет показывает, что увеличение интенсивности произойдет только при перемещении изображения ввезды на 0,015мм и достигнет 65% от максимальной амплитуды, т.е. при установлении появления звезды будет теряться примерно 0,5 вв. величины. В случае хороших условий наблюдений согласно данным таблицы 1 вокруг яркого ядра малых размеров имеется сравнительно слабий ореол большого радиуса. Это действительно так. В случае регистрации ярких ввезд вадолго перед появлением ввевды отклонение стрелям галвенометра в одну сторону показывает на появление ореола звезди. Этот эффект усиливается в случае плохой экранизации. Естественно, что ореол звезди наблюдается также при плохих условиях наблюдений. Это ватрудняет автомативацию наблюдений прохождений звезд особенно в случае применения нефиксированных щелей. Указанные трудности отсутствуют при наблюдении не очень ярких ввезд. Условия обнаружения ввезды на половине щели при хороших условиях видимости невначительно лучше, чем при плохих, T.e. случае хороших условий наблюдений теряется 0,3 зв. величины. Наши подсчеты проведены для наиболее неудачных положений отверстия экрана нал дорожкой ввезды. Если отверстие устанавливается над дорожной в любом месте с оцинаковой вероятностью, то таких невыгодных положений будет немного, т.е. примерно 10%. В большинстве случаев потерь в интенсивности при обнаружении звезди практически не будет. Мередвижная дорожка службы времени АО ЛГУ работает устойчиво, т.е. щель экрана с большой точностью /±0,01 мм/ устанавливается на одном и том же месте. Это достигнуто специальными фиксаторами и посредством пружины, которая прижимает экран к корпусу во время перекладки инструмента в лагерах. Согласно проведенному анализу длина щели передвижной решетки должна равняться целому числу длин поперечных щелей и ее края должны оставаться примерно у краев поперечных щелей.

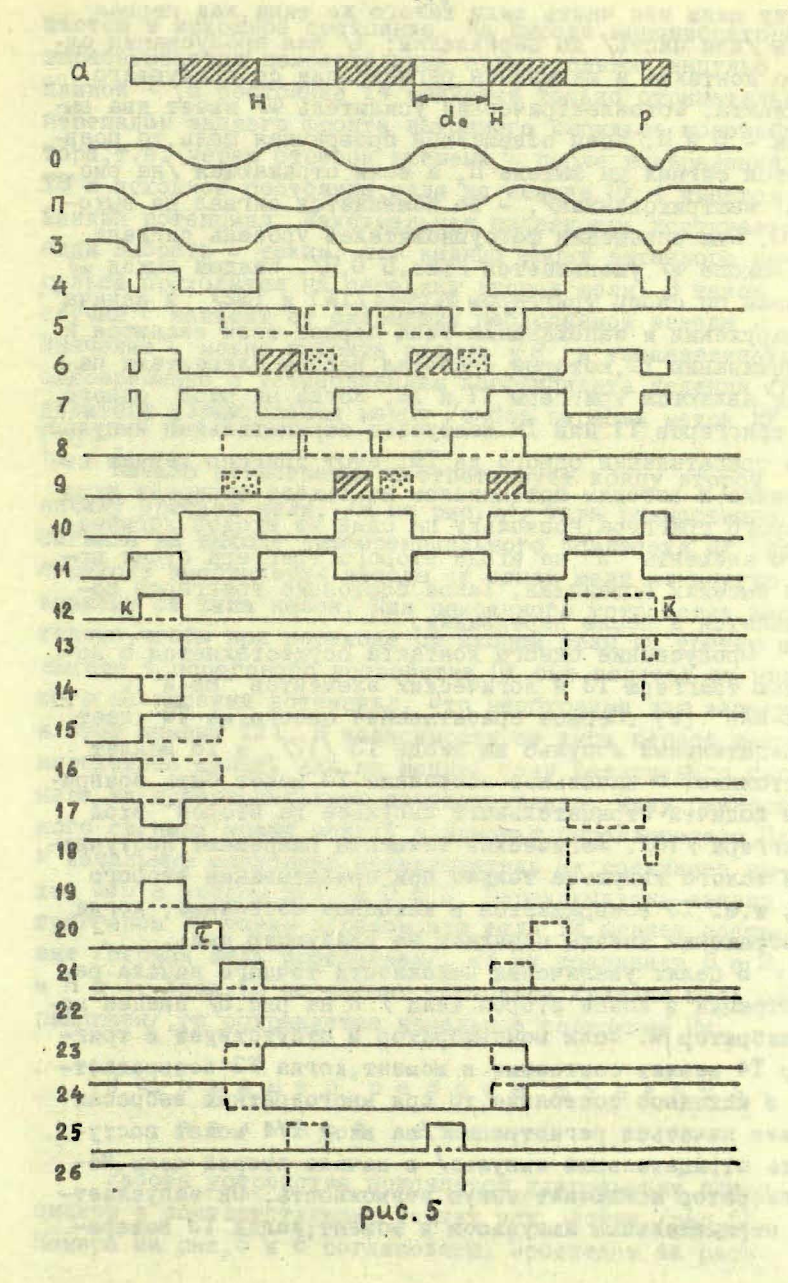
94. Функциональная сжема для автоматического оп -- ределения среднего момента

Если наблюдения происходят бев наблюдателя, то типы первых контактов должны быть согласованы автоматически. Если же регистрация происходит в присутствии наблюдателя, то автоматический выбор типа контакта освобождает наблюдателя от вапоминания типа контакта перед перекладкой инструмента. Преимущество автоматического согласования контактов очевидно. На рис. 4 дается функциональная схема устройства для определения среднего момента прохождения ввезд с учетом случайных выбросов. Она несколько отличается от [4]. Изменения



обусловлены тем, что автоматически выбирается тип контакта после перекладки в вависимости от типа первого контакта до перекладки. Результат определения среднего момента в предлагаемой схеме цается двумя электронными счетчиками СИ1 и СИ2, а показания счетчиков передаются на печатающее устройство МІУ. Регистрация начинается только после установления режима фотоэлектрического усилителя. Поскольку режим усилителя можно считать практически установившимся со второго контакта [8], то в начале регистрации первый контакт пропускается и регистрация начинается только со эторого контакта. После перекладки регистрация начинается с такого же типа контакта, как перед перекладкой, с пропусканием одного контакта. На рис. 4 начальные состояния всех триггеров указаны "О" или "1" на соответствующем выходе триггера, причем "1" означает высокий потенциал, а "О" - низкий потенциал. Для пороговых устройств /ПУ, ТП/ указаны направления изменения потенциала на соответствующем выходе при указанном направлении изменения потенциала на входе/например на входе 🧷 ,на выходе 1 /. Электронные ключи /ЭК/ и временные селекторы /ВС/ открываются высоким потенциалом и в это время на счетчик СИ1 проходят счетные импульсы [4] .Счетчик СИЗ введен для измерения отревка времени от середины меток до полной секунды. Для логических элементов укаваны потенциалы на входах и выходах при срабатывании. т.е. когда выполняется соответствующая логическая операция. Триггеры чувствительны только к отрицательным импульсам, которые воздействуют лишь на насыщенный транвистор /на выходе "0"/.

Часть схемы, содержащая ТШ1, ТШ2, Т1, Т2, Т3, М, Т4, Т5 и логические элементы, преднавначена для выполенения следующих операций: 1/ для обнаружения и запоминания типа первой щели или части щели, открытой отверствем подвижной ширины в начале дорожки; 2/ для пропускания одного контакта /границу между соседними щелями разного типа/ и начинания регистрации со второго контакта; 3/ после перекладки инструмента, т.е. после регистрации N контактов для обнаружения первой по по-



рядку щели или часть щели такого же типа, как первая щель /или часть/ до перекладки; 4/ для пропускания одного контакта и начинания регистрации со следующего контакта. Фотовлектрический усилитель ФУ имеет два выхода - О и П. Если освещается проврачная щель, то появляется сигнал на выходе II, а если отражающая /на рис. 5(а) ваштрихованная/. - то появляется сигнал на выходе О. При освещении фотоумножителей уровень сигнала на выходе 4У уменьшается /рис.5 0,П/. Каждый выход 4У свяван со своим триггером Шмитта/ТШ1 и ТШ2/ и вадача обнаружения и запоминания типа первой щели сводится к вапоминанию ТШ, который сработал первым. Элементами пакяти являются триггеры T1 и D2. Когда на вход одного из триггеров T1 или T2 поступает отрицательный импульс при срабатывании одного из ТШ, этот триггер меняет состояние и высоким потенциалом на выходе вапирает вход второго триггера, поскольку на один из входов логического элемента "И" на входе второго триггера будет подан высокий потенциал. Такое состояние триггеров сохраняется и после перекладки.

Пропускание одного контакта осуществляется с помощью триггера ТЗ и логических элементов "НЕ-И" и "НЕ-ИЛИ [9] .Первое срабатывание одного из ТШ дает отрицательный и ипульс на входе ТЗ /17/, и ТЗ меняет состояние. В начальное состояние ТЗ может быть возвращен подачей отрицательного импульса на второй вход триггера /18/. Логические элементы разрешают поступление такого импульса только при срабатывании второго ТШ, т.е. ТЗ возвращается в исходное состояние, когда изображение звезды попадает на следующую щель.

В целях увеличения надежности точного начала регистрации в конце второй щели / Н на рис. 5/ введен моновибратор М. Если моновибратор М отсутствует и триггер Т4 меняет состояние в момент, когда Т3 возвращаетск в исходное состояние, то при многократных выбросах может начаться регистрация /на вход ТУ1 может поступить отрицательный импульс/ в начале второй щели. Моновибратор исключает такую возможность. Он вапускаетск отрицательным импульсом в момент, когда Т3 возвращается в исходное состояние. На выходе моновибратора вырабатывается положительный прямоугольный импульс плиной т, а состояние Т4 меняется только отрицательным перепадом заднего фронта выходного импульса моновибратора, т.е. через отрезок времени Т после возвращения Т3 в исходное состояние, если на выходе ПУ 4 имеется низкий потенциал. Максимальная надежность достигается, если выбрать Т таким, что задний фронт выходного импульса приходится на середину второй щели. В таком случае Т зависит от склонения наблюдаемой ввезды 5, значение т можно выбрать равным ½ м и устанавливать одновременно с установлением коэффициента деления /К/ делителя фэрмирования меток /выбор периода меток М/

Начало регистрации соответствует концу второй и началу третьей щели. /Н на рис.5/. Фаза разностного сигнала на выходе дирференциального усилителя ДУ при переходе изображения ввезды от одной щели на другую зависит от типа целей. Для описанного устройства необходимо, чтобы при переходе от второй щели на третью на выходе 4 порогового устройства ПУ был переход от нивкого на высокий потенциал. Это необходимо для запуска в этот момент ТУ1. В зависимости от типа первой щели необходимо менять или не менять фаву разностного сигнала на противоположную, соответственно. Фазу разностного сигнала можно менять с помощью переключателя Пк. В начальным состоянии переключатель Пк соединяет выход ФУО с входом ДУ1, а П с 2. Переключатель связан с триггером T2 таким образом, что если T2 меняет состояние /первая щель проврачная/, то Па соединяет 0 с 2, а П с 1. Если Т2 не меннет состояния /первая щель отразающая/, то сохраняется начальное состояние Пк.

§ 5. Пример работы функцыональной схемы

Работа устройства поясилется диаграммами потенпиалов в соответствующих точках уст экства /рис.5/. Номера на рис.5 и 6 согласовани. Проследии за работой схемы, если рабочая часть решетки открыта отверстием подвижной ширмы длиной в / N + 3/d, где d, — ширина отражающей или проврачной щели, N — число испольвуемых в регистрации краев щелей /четное число/, а положение отверстия ширмы относительно решетки неопределенное. Для примера на рис.5(а) выбрано N = 4. Допустим, что отверстием ширмы в начале дорожки открыта часть проврачной щели. Очевидно, обявательным является требование, что положение ширмы не должно измениться во время перекладки инструмента. Предположим, что изображение звезды движется слева направо, а после пе-

рекладки справа налево. На рис.5 /0,П,3/ изображены

уровни сигналов на выходах ФУ и ДУ при движении изображения ввезды.

При появлении сигнала П замыкается ключ К /наблюдателем или АСУ/ и Т5 меняет состояние /12/. Поскольку первым появляется сигнал li.to TM2, который срабатывает первым /11,14/ переводит Т2 во второе состояние. При изменении состояния Т2 /16/ на первый вход ТЗ поступает отрицательный импульс /17/ и ТЗ маняет состояние /19/. Одновременно высокий потенциал на выходе Т2 /15/ переключает Пк и равностный сигнал на выходе ДУ меняет фаву на противоположную /3/. Когда на виходе 0 шу появляется сигнал /в начале отражающей цели/. ТШ1 срабатывает /0,10/ и на втором вкоде ТЗ /18/ поступает отрицательный импульс /13,18/ и ТЗ возвращается в исходное состояние /19/. В этот момент и Т5 вовврадается в исходное состояние /19,12/ и вапускается моновибратор М /19/. Черев время Т /20/ Т4 меняет состояние /20,4,21/. В конце отражающей щели /H/ когда на выходе 4-ПУ появляется высовий потенциал /3,4/, на вход триггера управления ТУ1 поступает отрицательный импульс /22/,ТУ1 меняет состояние, Т4 воввращается в исходное состояние /21/, открывается ЭК1 и начинается формирование меток /5.8/ [4].Дальше происходит сумыпрование длительностей выбросов сигнала на виходе ДУ /3,4,7/ соответствующего внака в зависимости от состояния ФМ /5,8/,т.е. происходит регистрация прохождения ввезды [4]. В соответствующих промежутках времени /6,9/ открываются ВС1 или ВС2 и счетные импульсы поступают на счетчик СИ1 /6,9 — в ваштрихованные отрежки/.

Средний момент меток должен быть связан со временем ξ , поэтому этот момент выделяется /4К/ и в этот момент триггер управления ТУ2 переводится во второе состояние, открывается ∂ К2 /25/, на СИ2 поступают счетные импульсы до последующей полной секунды, т.е. измеряется отревок времени от середины меток до полной секунды. Секундый импульс переводит ТУ2 обратно в начальное состояние. Последняя метка возвращает /ФК/ триггер ТУ1 в исходное состояние и дается разрешение МПУ печатать показания СИ1 и СИ2, т.е. $\sum \Delta t_1$ и Δt_2 , а средний момент прохождения звезды равен $1-\Delta t_2-\frac{1}{N}$ $\sum \Delta t_1$.

В схему введен триггер Т6. Он может менять состояние только во время регистрации, если отсутствует сигнал от Φ У – только в том случае на всех входах соответствующего логического элемента "НЕ-И" имеется высокий потенциал. Состояние триггера Т6 фиксируется печатающим устройством.

На рис.5 сигнал /0,П,З/ представлен без помех и многократных выбросов. Легко убедиться,что при наличии многократных выбросов ничето не меняется,т.е. Т1 или Т2,Т3,ТУ1,Т6 меняют состояния только при первом выбросе соответствующего знака.

После перекладки инструмента необходимо обнаружить первую проврачную щель, пропустить один контакт и
начать регистрацию со следующего контакта / н на рис.
5 а /. Диаграммя потенциалов /рис.5/ после перекладки
инструмента пунктирные, где они отличаются от соответствующих диаграмм до перекладки. Как уже было отмечено, триггеры Т1 и Т2 сохраняют такое же положение, какое
они заняли во время регистрации до перекладки, а все
остальные триггеры находятся в начальном состоянии. Поскольку в начале дорожки теперь имеется часть отражающей щели, то первым появляется сигнал на выходе 0 фу
и соответственно первым срабатывает ТШ1. После замыкания ключа К /12 - к/ на вход 18 триггера Т3 поступает
отрицательный импульс /18/, но Т3 не меняет состояния,

поскольку триггер находится в начальном состоянии /на соответствующем выходе высокий потенциал/. ТЗ изменит свое состояние, если отрицательный импульс поступит на вход 17. В панном случае это произойдет при первом срабатывании ТШ2, т.е. автоматически первой выбирается проврачная цель.

Далее рассмотрим случай, когда при переходе от части отражающей щели на проврачную /рис. 5 а - р/ нет многократных выбросов. Тогда при срабатывании ТШ2 триггер ТЗ меняет состояние и остается в новом состоянии до следующего срабатывания ТШ1 в начале отражающей щели /19/, когда ТЗ возвращается в исходное состояние и вапускается моновибратор /19/, а в конце отражающей цели / н - рис. 5 а/ и ТУ1 /20,4,21,22/,т.е. дальше, все происходит так же, как до перекладки.

Если на переходе от части отражающей на проврачную щель / р - рис. 5 а /, имеются многократные выбросы, то достаточно того, что после первого выброса сигнала О последует выброс сигнала П, чтобы ТЗ два раза менял состояние и сработал моновибратор М. Правда. на вход Т4 отрицательный импульс не поступает после вапуска мон зибратора через время Т /4/. Следовательно, в этом случае прохождение эвезды не будет варегистрировано, поскольку при воверащении ТЗ в исходное состояние Т5 тоже воввращается в исходное состояние и повторный запуск моновибратора был бы не возможен /12/. Для устранения этого необходимо добавить еще одну логическую операцию, об одной части которой уже было сказано. Нужно обеспечить чтобы Т4 не менял своего состояния. если вадний фронт выходного импульса моновибратора М приходится на середину такого типа щели, какого типа цель была первой до перекладки, но если моновибратор сработал и не последовало изменения состояния Т4, то необходим повторный вапуск устройства, т.е. повторно вывести из начального состояния Т5. Эти операции выполняются с помощью двух логических элементов "И", имеющих один потенциальный и один динамический входы. Отрицательный импульс, соответствующий ваднему фронту выходного импульса моновибратора подается на динамические входы и вызывает отрицательный импульс на выходах логических элементов "И" при наличии нивкого потенциала на потенциальных входах.

Теперь, если в конце части отражающей щели (р) из-за многократных выбросов сработает моновибратор, то через время с триггер Т4 не изменит своего состояния /высокий потенциал на выходе ПУ 4/, но произойдет повторный запуск Т5 /низкий потенциал на выходе ПУ 7/. После повторного запуска все происходит так, как до перекладки инструмента, и регистрация начинается в конце отражающей щели / н /. И с этой точки врения целесообразно выбрать $T = \frac{1}{2} M$.

Нами был рассмотрен конкретным пример работы устройства и выбрано определенное положение отверстия подвижной ширмы. Нетрудно убедиться, что нормальная работа устройства обеспечивается при любом положении отверстия подвижной ширмы. Во всех случаях, когда уменьшается число логических операций /определенное положение ширмы, специальная решетка с определенным числом щелей, нет необходимости пропускать один контакт при малой постоянной времени вкода фотоэлектрического усилителя/, логическая схема устройства упрощается.

§ 6. Автоматическое наведение инструмента на ввезду

В § 1 предложено для точного наведения инструмента в начале и конце веркальной решетки иметь по
две широкие поперечные щели. Свет попадает на тот фотоумножитель, на щели которого появилось изображение
ввезды. На выходе усилителя, дающего разность сигналов фЗУ, появится сигнал разбаланса /относительно нулевого выходного напряжения/. Чтобы выработать сигналы для логических схем, которые управляют механиямом точного наведения меток для регистрирующего
устройства нужны два пороговых устройства - компараторы, пороги срабатывания которых находятся выше
и ниже нулевого уровня. К компараторам относится класс устройств, для которых входной сигнал

 U_4 свяван с выходным сигналом U_2 соотношением

$$U_{2}(t) = \begin{cases} 0 \text{ (L) } \text{при } U_{4}(t) \leq U_{40} \\ 1 \text{ (H) } \text{при } U_{4}(t) > U_{40} \end{cases}$$

где L — сигнал, соответствующий нулевому логическому уровню, H — уровень сигнала, соответствующий единице логической функции. Таким образом, компараторы сигнализируют о превышении сигналом определенного уровня. Компараторами могут быть разные триггеры, дифференциальные усилители и так далее [13]. Пороги срабатывания U_{K1} , U_{K2} обеих компараторов должны быть на равном расстоянии от нулевого уровня /рис.6/.Так как наблюдеются ввезды очень разной яркости, то целесообразно порог срабатывания компараторов во время наблюдений менять. Это уменьшит опасность ложных срабатываний устройства ва счет шумов и попадании на другие ввезды,

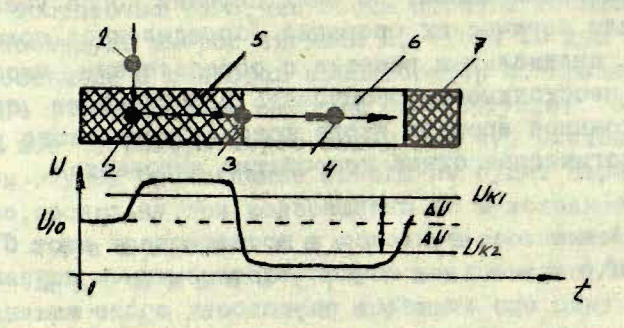


Рис. 6. Сигнал на выходе усилителя разностного сигнала фотоумножителей. 1-2-3-4 передвижение изображения ввезды. 5 и 6 широкие поперечные щели. 7 - первая узкая щель.

которые одновременно могут находиться в поле врения инструмента.

Чтобы такое устройство работало надежно, важны два условия: 1/ порог срабатывания пороговых устройств должен обладать достаточной стабильностью; 2/ выходной нулевой уровень усилителя равностного сигнала от обеих 109 должен оставаться постоянным с заданной точностью /во время одного сеанса наблюдений/. Это

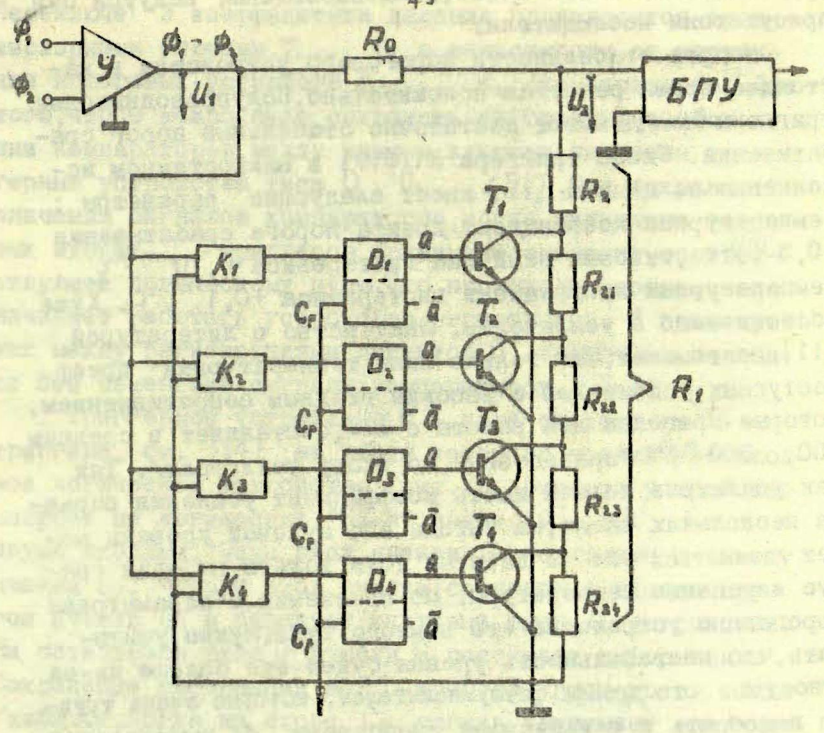


Рис. 7. Устройство компенсации дрейфа усилителя.

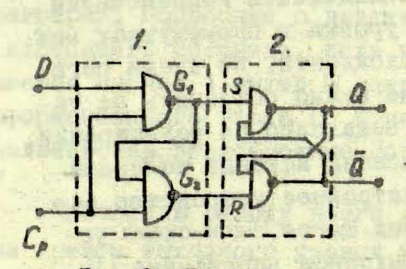


Рис.8. Триггерное устройство типа D
1 — входное устройство, 2 — RS-триггер.

Cp	0	a	\bar{q}		
101	000	8 8 1	0		
	(M)		400		

Таблица ≥ Состонния триггерного стройства типа D .

требование особенно важно, если наблюдения ведутся бев присутствия наблюдателя.

Вопрос стабильности порогового устройства в настоящае время решается положительно. Полупроводниковые триггеры Шмитта имеют достаточно стабильный порог срабатывания. Схема триггера К1ТШ191 в микросхемном исполнении по данным [11] имеет следующие температурный коэффициент дреифа порога срабатывания +0,3 мусс , типовая величина гистеревиса 0,10 мусс температурный коэффициент гистеревиса +0,1 " куже обстоит дело с усилителем. Знакомство с литературой [11] показывает, что только лишь температурный дрейф доступных усилителей с высоким входным сопротивлением. которые пригодны для работы с 49У, составляет в среднем 100...300 №У°С /приведенный ко входу усилителя/. Так как усилитель должен иметь коэффициент усиления порядка нескольких тысяч, на выходе его нулевой уровень может изменяться уже на десятне доли вольта на один градус изменения температуры. По сравнению с параметрами порогового устройства это намного хуже. Нужно учитывать, что нестабильность уровня будет еще больше из-за относител ого дрейфа фотоумножителей, которые очень трудно подобрать с одинаковыми свойствами. Из вышеизложенного следует, что влияние дрейфа усилителя практически целесообразнее исключить автоматической компенсацией ивменения выходного нулевого уровня в промежутках между регистрациями моментов прохождений. Во время регистраций, компенсирующее влияние нужно сохранить на таком уровне, на каком оно было невадолго до регистрации, ибо в противном случае компенсация искавит полезный сигнал. Нами предлагается электронное устройство работающее по принципу дискретных шагов. Блок-скема устройства покажана на рис. 7. Выходное напряжение U4 усилителя У разностного сигнала фотоэлектрической установки черев делитель напряжения R.R., коэффициент деления которого можно менять, подается на вход блока пороговых устройств /БПУ/. Коэффициент деления меняется дискретными шагами в зависимости от того, на сколько отклоняется от нулевого уровня U46 напряжение U4.

Переключет в коэффициента деления производится транвисторными ключами $T_4 \dots T_4$ в зависимости от состояний пороговых устройств $K_1 \dots K_4$ /компараторов/.Для того, чтобы можно было сохранять информацию о состоянии компараторов, между ними и ключами включены тригрерные устройства типа D, $D_4 \dots D_4$. Они сохраняют значения сигналов компараторов, когда сигнал на тактовых входах C_p -триггеров принимает значение, соответствующее логическому нулю. Это происходит тогда, когда начинает работать устройство регистрации. В промежутках между регистрациями моментов D-триггеры передают без изменений сигналы компараторов.

Триггерное устройство D - типа состоит из RS триггера, см. [14] ,на входы которого подключено входное логическое устройство /рис. 7/. Входное устройство состоит из логических "НЕ-И" ячеек [9], G4, G2 с двумя входами. Один вход ячейки С2 подключен к выходу ячейки С. Второй вход ячейки соединен с входом другой ячейки С, и образует тактовый вход Срустройства. На оставшийся вход D ячейки G, поступает информация. Сохранение информации в RS-триггере происходит тогда /табл. 2/, когда на входе Ср сигнал принимает вначение С /на входах R и S сигнал принимает вначение 1.a сигнал информационного входа не влияет на состояние триггера/. Подробнее о действии RS -триггера 8 настоящего сборника. Если на входе Ср устройства имеется сигнал 1, выход Q устройства повторяет сигнал информационного входа D , в чем легко убедиться, проаналивировав всевовможные состояния устройства /табл. 2/.

Проследим работу всего устройство для компенсации дрейфа выходного уровня усилителя при помощи рис. 9, где U_{10} и U_{20} — нулевые уровни напряжения на виходе усилителя и на входе блока пороговых устройств БПУ. На рисунке 9 отмечены пороги срабатывания компараторов /показаны только четыре U_{K4} , U_{K2} , U_{K5} , U_{K4} /.В состоянии, когда сигнал U_4 находится на уровне U_{10} компараторы K_3 , K_4 уже имеют на виходе единичные сигналы /высокий потенциал H/. Триггерные устройства повторяют

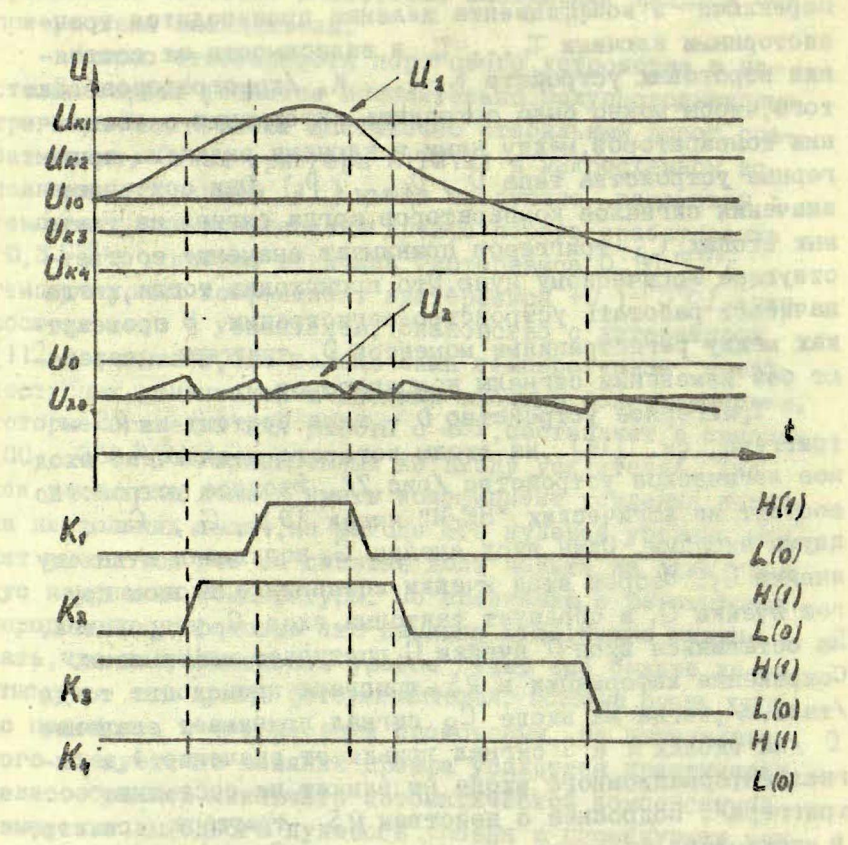


Рис. 9. Работа устройства компенсации.

U40 , U26 начальные уровни сигналов, U4 дрейф сигнала усилителя, U2 дрейф после компенсации, U6 уровень срабатывания первого порогового устройства. К — ивменение состояний компараторов.

эти состояния и приводят транвисторы T_3 T_4 в насыщение, вследствия чего ревисторы R_{25} и R_{24} делителя соединяются. Такое состояние состветствует среднему коэффициенту деления K_0 делителя, который равен

$$K_0 = \frac{R_2 + R_{21} + R_{22}}{R_0 + (R_2 + R_{21} + R_{22})}$$

При возрастании U_4 U_2 тоже растет пока U_4 не достигнет уровня компаратора U_{K^2} . После этого срабатывает K_2 и приводит T_2 в насыщение и коэффициент деления скачко-обравно ивменяется и принимает новое вначение

$$K_2 = \frac{R_2 + R_{24}}{R_6 + (R_2 + R_{24})},$$

которое меньше предыдущего Ко.

Таким же образом регулировка происходит дальше при изменении U_4 . Колебания напряжения на входе пороговых устройств не превышают ваданную величину ΔU_2 , которая зависит от равности уровней компараторов $K_4...$, K_4 . Если ΔU_2 должно принимать малое вначение, тогда число компараторов должно быть соответственно увеличено. Таким образом ΔU_2 можно сделать меньше, чем наименьший уровень срабатывания U_0 пороговых устройств в блоке БПУ.

Литература

- 1. Штейнс К.А. Уч. вап. Латв. гос. унив., том 121, вып. 4,3, 1969.
- 2. Штеянс К.А. и Каупуш Э.н. Уч.ван.Латв.гос.унив., том 96.вып. 3.79.1967.
- 3. Штейнс К.А. и Огриньш М.П. Уч. зап. Латв. гос. унив., том 148, вып. 6, 3, 1971.
- 4. Огриньш М.П. Уч. зап. Латв. гос. унив., том 169,3, 1972.
- 5. Штейнс К.А. и Иванов А.В. Уч. зап.Латв.гос.унив., том 169,30,1972.
- 6. Штейнс К.А. и Каупуш Э.Н. Уч. вап. Латв. гос. унив., том 96, вып. 3,97,1967.
- 7. Штейнс К.А. и Калнинь Р.К. Астр.ж. АН СССР, том 46, п.3, 1969.
- 8. Калнинь Р.К. Уч. зап. Латв. гос. унив., том 121, вып. 4, 11, 1969.
- 9. Иванов А.В. См. стр. З настоящего сборника.
- 10. Огриньш М.П. См. стр. 62 настоящего сборника.
- Робинсон Д. Триггер Шмитта с диодной связью. Электроника, том 37, № 31, 1964. Русский перевод.
- 12. Гальперин М.В. и др. Транвисторные усилители постоянного тока. "Энергия", М. 78-98, 1972.
- 13. Kley A. Schnelle und genaue Komperatoren mit Trensistoren. Internationale Elektronishe Rundschau 21 Jahrgang, H.1. 1967.
- 14. Bistabile Kippstufen. Arbeibsblatt Nr. 47, Elektronik, Hefte 5 und 6,1970.

Ревюме

К. А. Штейнс М. П. Огринь ш А. В. Иванов

об использовании передвижной дорожки при наблюдении прохождения звезд

При автоматическом определении среднего момента методом учета случайных выбросов используется следующее свойство. Если пелая часть длины отверстия экрана в единипах длины поперечных щелей есть четное число, то в отверстии видно на один край щели больше в случае если на концах имеются щели противоположного типа. Учитывая также, что эвезда обнаруживается тем больше, показано, что оптимальная длина дорожки содержит целое число длин поперечных щелей. При оптимальной длине отверстия в худшем случае теряется примерно 0,5 ввездных величин.

Предложена функциональная электронная схема автоматического прибора дающего возможность определять средние моменты прохождения ввезд при применении передвижных решеток притом с пропусканием и без пропускания регистрации первого контакта. Предлагаются также стационарные решетки помещенные между двумя призмами и имеющие по две широкие поперечные щели в начале и конце дорожки. Широкие поперечные щели необходимы для автоматического установления пассажного инструмента по венитному расстоянию; для соответствующего электронного устройства дана схема, которая автоматически устанавливает нулевой уровень регистрирующего устройства перед очередной регистрацией. Иллюстр.: 7, табл.: 2, библиогр.: 14 навв.

Kopsavilkums

K. Šteins M. Ogriņē A. Ivanovs

KUSTĪGA EKRĀNA IZMANTOŠANA ZVAIGŽŅU TRANZĪTMOMENTU NOTRIKŠANĀ

Automātiski nosakot vidējo momentu ar gadījuma izsitienu reģistrēšanas metodi,tiek izmantota sekojošs īpašība.

Ja ekrāna izgriezuma garuma veselā daļa (režža spraugu garuma vienībās) ir pāru skaitlis,tad izgriezumā redzamo
spraugu malu skaits ir par vienu lielāks,ja galos ir pretēju tipu spraugas. Nemot vērā,ka zvaigzne tiek jo drošāk
atrasta,jo spraugas daļa celiņa sākumā lielāka,parādīts,
ka optimālais celiņa garums ir vienāds ar veselu skaitu
spraugu garumu. Pie optimālā izgriezuma garuma sliktākā
gadījumā zūd apmēram 0,5 zvaigžņu lieluma.

Dota automatiska iekārta, kas dod iespēju noteikt vidējos zvaigžņu tranzītmomentus, pielietojot kustīgu ekrānu un izlaižot vei arī neizlaižot pirmo kontaktu funkcionālā shāma. Apskatīti arī stacionāri režģi, kas novietoti starp divām prizmām un kuriem galos ir pa divām platām spraugām. Platās spraugas nepieciešamas automātiskai pasāžinstrumenta senītdistances iestādīšnai. Dota mezgla shāma automātiakai nulles līmeņa iestādīšanai reģistrējošai iekārtai pirme kārtājās reģistrēcijas.

K. Stelns

M. Ogrins

A. Ivanovs

ON USING A MOVABLE TRACK IN OBSERVATIONS ON STAR TRANSITMOMENTS

The following property is used in automatic determination of the mean transitmoments by taking into account
random ejections. One more edge of the slit is seen through
the screen hole, if slits of different types are situated
at the ends and the entire part of the hole length in the
screen (in units of the slit length) is an even number. It
is shown that the optimum length of the track contains a
whole number of the slit lengths on the condition that the
star can be detected the more safely, the larger the part
of the slit at the beginning of the track. Approximately
0,5 of the star magnitude is lost at the optimum length at
the worst.

A functional circuit of the automatic device is suggested. It allows to determine the mean transit moments of the star, using a movable screen, besides the first contact can be omitted or not. A stationary grating with two broad slits at the ends of the track placed between two prisms is also suggested. The broad slits are necessary for automatic setting of the transit instrument at a senith distance. The circuit of the block is given for automatic setting of the recording device on the zero level before the observation next in turn.

ЛАТВИЙСКИЙ ОРДЕНА ТРУДОВОГО КРАСНОГО ЗНАМЕНИ ГОСУДАРСТВЕННЫЙ УНИВЕРСИТЕТ ИМ.П.СТУЧКИ УЧЕНЫЕ ЗАПИСКИ.ТОМ 190.АСТРОНОМИЯ, ВЫПУСК 9,1973

УДК 522.62:681.142.644.6 К. А. Штейнс и 529.781 П. П. Ровенберг

ПРИСПОСОБЛЕНИЕ ДЛЯ АВТОМАТИЧЕСКОГО ОПРЕДЕЛЕНИЯ ДИСПЕРСИИ СРЕДНИХ МОМЕНТОВ ПРОХОЖДЕНИЯ ЗВЕЗД

§ 1. Принцип действия устройства

М.П. Огриньш [1] разработал устройство для определения средних моментов прохождения ввезд черев веркальные решетки методом учета случайных выбросов. При помоши этого устройства автоматически определяются средние моменты, но без переделки устройства не возможно определить или получить необходимую инрормацию для определения ошибок средних моментов. В настоящей статье предлагается дополнительная конструкция к устройству М.П. Огриньша которая оценивает точность средних моментов. Необходимость оценки точности средних моментов в последнее время возросла. К.А. Штейнс и Р.К.Калнинь [2] применили теорию случайных выбросов к оценке точности средних моментов, полученных методом учета выбросов случайных процессов. При оценке они учли влияние прожания изображения звезд, постоянную времени усилителя и склонение наблюдаемой ввезды. Оказывается, что по ошибкам моментов прохождения ввезд можно судить об оптической нестабильности атмосферы во время наблюдения.

Разработанное М.П. Огриньшом устройство для определения среднего из моментов пересечения кривой тока оси времени можно применить, если изображение ввезды перемещается по вивирной веркальной решетке, т.е. если кривая является суммой периодической кривой /почти синусоида/ и мелких случайных дрожаний /см.рис. 1/. Вследствие наличия дрожаний в окрестностях точек пересечения периодической кривой вовникают многократные пересечения. При помощи меток, которые генерируются примерно в моменты максимальной амплитуды, окрестности точек пересечений периодической кривой оси времени отделяются. В интервале между двумя метками вследствие симмет-

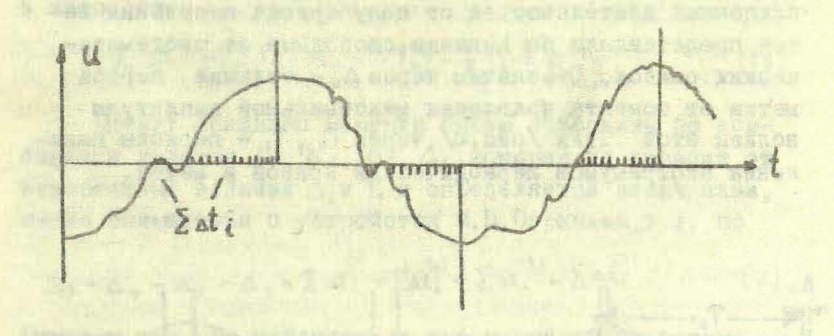


Рис. 1. Периодический сигнал от ввезды, искаженный случайными помехами, метки и счетные импульсы.

рии кривой относительно идеальной точки пересечения средний момент получается, если сумму длительностей выбросов одного знака $\sum \Delta^{\dagger}$; сложить с моментом появления метки, находящейся в начале интервала. Для получения среднего момента следует суммировать все моменти времени меток и все суммы $\sum \Delta^{\dagger}$; длительностей и ввять среднее арифметическое. Среднее арифметическое моментов появлений меток можно получить непосредственно на часах, следовательно, следует только суммировать длительности выбросов одного внака между последующими метками, что и делается устройством, построенным М.П. Огриньшом. Длительности представляются мет-

ками, которые подаются по двум каналам на счетчик импульсов. В дальнейшем будем предполагать, что в нашем распоряжении имеются два канала, на выходах которых поочередно появляются напряжения меток, представляющие длительности одного внака в соответствующих интервалах между метками.

Рассмотрим вопрос о том, как по длительностям выбросов одного внака Σ Δ^{\dagger} . Для отдельных интервалов между метками можно оценить точность среднего вначения момента прохождения. Если бы метки генерировались точно в моменты максимальных амплитуд, то отличие наблюденных длительностей от полупериода появления меток представляли бы невявки, свободные от систематических ошибок. Обозначим через Δ_0 — отличие первой метки от момента появления максимальной амплитуды вбливи этой этки /рис.2/,через T_0 , T_1 — периоды появления экстремумов периодической кривой и меток.

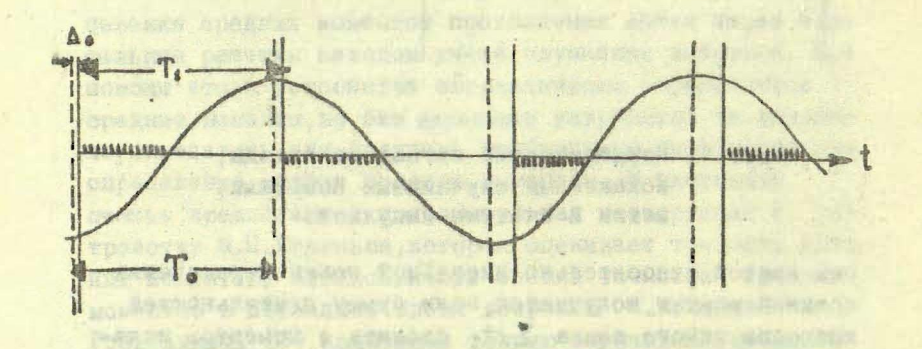


Рис. 2. Периодический сигнал и сдвиг меток.

Непрерывная кривая представляет невозмущенный сигнал, вертикальные прерывистые прямые представляют идеальные положения меток с периодом T_o , непрерывные вертикальные прямые представляют реальные метки с периодом повторения T_i . Положительный выброс между первыми двумя метками будем оценивать следующей невняюй $\sum \Delta t_i^{(1)} + \Delta_0 - \frac{1}{2} T_o = \Delta_i$, (1 Δ)

а отрицательный - этой же самой величиной только проти оположного знака. Невязка следующего, т.е. отрицательного выброса, равна

$$\sum \Delta T_{i}^{(2)} + \left(T_{i} + \Delta_{c} - T_{o}\right) - \frac{T_{o}}{2} = \Delta_{2}, \qquad (1\delta)$$

Невязка третьего выброса равна

$$\sum_{\Delta t_{i}}^{(3)} + (2T_{i} + \Delta_{o} - 2T_{c}) - \frac{1}{2}T_{o} = \Delta_{5},$$
 (18)

в четвертого-

4

$$\sum \Delta t_{c}^{(4)} + (3T_{1} - \Delta_{c} - 3T_{c}) - \frac{1}{2}T_{c} = \Delta_{4}$$
 (12)

Оценку среднего момента будем проводить по комбинации невязок \triangle_1 , \triangle_2 , \triangle_5 , \triangle_4 , которая не зависит от неизвестных величин \triangle_0 и Γ_0 и определяется величинами, легко снимаемыми с устройства М.П. Огриньша, т.е. по

$$\Delta_1 + \Delta_4 - \Delta_2 - \Delta_5 = \sum_{i} \Delta_{i} + \sum_{i} \Delta_{i}^{(a)} - \sum_{i} \Delta_{i}^{(3)} - \sum_{i} \Delta_{i}^{(2)}$$
 (2)

Отметим, что при наблюдениях вне нормального режима не искажется равенство (1), что можно непосредственно увидеть ив рис. 3. Через Δ_i^c обозначены поправки из-ва отклонения от нормального режима.

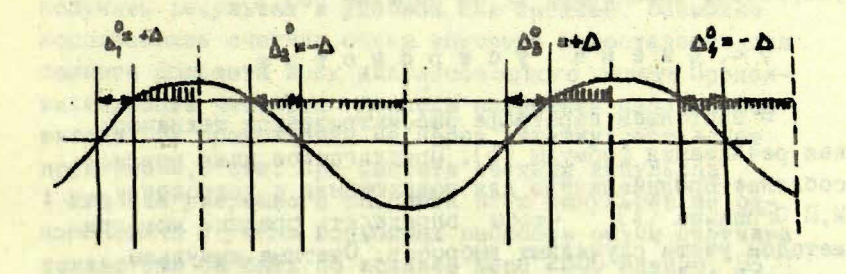


Рис. 3. К регистрации вне нормального режима.

$$\Delta_{1} + \Delta_{4} - \Delta_{2} - \Delta_{3} = \sum_{i} \Delta t_{i}^{(i')} + \Delta_{i} + \sum_{i} \Delta t_{i}^{(i')} - \Delta_{i} - \sum_{i} \Delta t_{i}^{(3')} - \Delta_{i} - \sum_{i} \Delta t_{i}^{(2')} + \Delta_{i} = \sum_{i} \Delta t_{i}^{(i')} + \sum_{i} \Delta t_{i}^{(i')} - \sum_{i} \Delta t_{i}^{(2')} - \sum_{i} \Delta t_{i}^{(2')}$$

Средний момент определяется формулой [1] :

$$t_{cp} = t_{o} - \frac{1}{4} \left(\sum_{i} \Delta t_{i}^{(i)} + \sum_{i} \Delta t_{i}^{(2)} + \sum_{i} \Delta t_{i}^{(3)} + \sum_{i} \Delta t_{i}^{(4)} \right), \quad (3)$$

где t_0 средний момент из всех меток. В формулах (1α -12) величины Δ_0 , T_0 , T_1 не являютя случайными, а Δ_1 , Δ_2 , Δ_5 , Δ_6 , являются случайными величинами. Следовательно, $\sum \Delta t_1^{(4)}$, $\sum \Delta t_2^{(5)}$ и $\sum \Delta t_3^{(4)}$ также являются случайными величинами с той же дисперсией, как Δ_1 , соответственно. Следовательно, истинной ошибкой t_{cp} является

$$\frac{1}{4}\left(\Delta_1 + \Delta_2 + \Delta_3 + \Delta_4\right). \tag{4}$$

Полученные нами формулы имеют место также при любом n, если N=4n. При достаточно большом количестве меток N, например при N=24, любая алгебраическая сумма истинных ошибок /например (\ge) или (4) / оценивается дисперсией

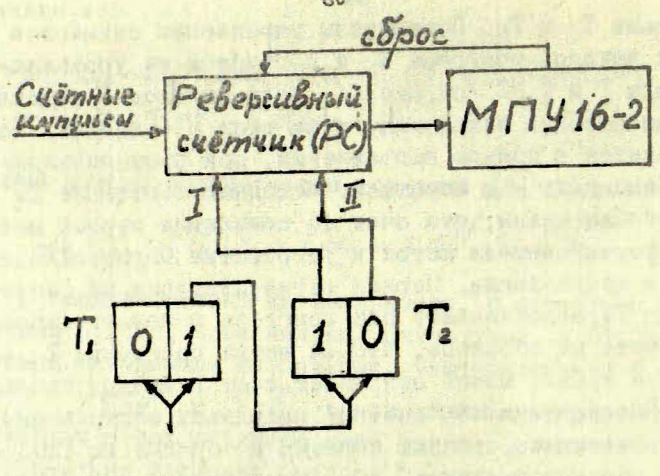
 $(\Delta_{1} + \Delta_{4} - \Delta_{5} - \Delta_{2} + \dots)^{2} = (\sum_{i=1}^{(1)} \sum_{i=1}^{(4)} \sum_{i=1}^{(4)}$

где N число использованных меток. Вспомогательное устройство определяет 6 по формуле (5).

§ 2. Схема устройства

В настоящем параграфе рассматривается техническая реализация формулы (5). Предлагаемое нами приспособление преднавначено для подключения к устройству
М.П. Огриньша [1], чтобы определить средние моменты
методом учета случайных выбросов. Счетные импульсы
частотой в 1 кгц, идущие в устройстве Огриньша к счетчику импульсов, поступают также на вход реверсивного
счетчика импульсов РС[4] нашего устройства. Направление счета этого счетчика задается двумя управляющими

триггерами Т1 и Т2. Потенциалы управления снимаются с обоих выходов триггера То и поступают на управляющие входы Т и П РС /см.рис.4/. Если на вход Т счетчика подан высокий потенциал, а на вход 11 - низкий, то счет ведется в прямом направлении, при противоположных потенциалах - в обратном. Исходное состояние Т и То выбрано таким, что счет до появления первой метки /от формирователя меток в устройстве Огриньша/идет в прямом направлении. Первая метка, поступая на счетный вход Т, опрокидывает оба триггера и меняет направление счета на обратное. Вторая метка состояния То не меняет, а третья вновь открывает счет в прямом направлении. Обозначим пакеты счетных импульсов, поступающие на вход счетчика, римскими цифрами в порядке их следования и обратим внимание за то, что первая метка следует после Глакета импульсов. Высокий потенциал на выходе триггера обозначим через 1, а низкий - через 0. Из таблицы 1 легко увидеть, что счет накетов импульсов ведется по схеме $\overline{1} - \overline{11} - \overline{11} + \overline{10} + \overline{0} - \overline{01} - \overline{01} + \overline{011} \dots$ и т.д. Состояние То 1 - 0 овначает счет в прямом, 0 - 1 в обратном направлении. Так подсчитываются импульсы всех 24 пакетов, а результат печатается на бумажной ленте серийным малогабаритным печатающим устройством МПУ 16-2. В нашем приспособлении реверсивный счетчик ведет счет в десятичной системе, что само по себе не имеет принципиального вначения. Это лишь позволяет получить результат в удобной нам системе. Возможно использовать счетчик, объем которого недостаточен для полного подсчета всех импульсоводного пакета. Продолжительность четверти периода наивысшей наблюдаемой ввезды при прохождении ее через решетку составляет примерно 2,5 сек. При частоте счетных импульсов 1 кги для уверенного подсчета всех импульсов из одного пакета с учетом вовможных выбросов объем счетчика должен был бы быть по крайней мере 2500 единиц. Но подсчитывать все импульсы нет надобности. Объем счетчика должен быть достаточен лишь для того, чтобы вместить остаток, характеризующий ошибку, а последняя на практике горавдо меньше четверти периода ввезды.



Puc. 4.

Таблипа 1

и паке- та	1	П.	Ш	19	У	У1	у п	Allı	ıx	Х	X1	ХΠ
T ₁	01	10	01	10	01	10	01	10	01	10	01	10
T2	10	01	01	10	10	01	01	10	10	01	01	10

Поэтому емкость счетчика выбрана в 999 единиц, т.е. он имеет 3 десятичные декады. Подсчитывая число импульсов одного пакета, превосходящее 999, счётчик начинает счет с нуля несколько рав. Следует отметить, что в двоичной системе реверсивный счетчик несколько упрощается, но при выводе информации печатающее устройство должно иметь большее число внаков и к тому же затруднено чтение результата.

Принципиальную схему реверсивного счетчика можно найти в [4], а схему, по которой выполнены входящие в него триггеры, в [5].

Литература

- 1. Огриньш М.П. Уч. вап. Латв. гос. унив., том 169, 3, 1972.
- 2. Штейнс К.А. Уч. зап. Латв. гос. унив., том 148, вып. 6, 29, 1971.
- 3. Калнинь Р.К. Уч. зап. Латв. гос. унив., том 148, вып. 6, 12, 1971.
- 4. Radio Fernsehen Elektronik t.16,540,1971.
- 5. Funktechnik t.9,343,1972.

Pesone at all the Peson en ever selections and entered

К. А. Штейнс

П. П. Ровенберг

ПРИСПОСОБЛЕНИЕ ДЛЯ АВТОМАТИЧЕСКОГО ОПРЕДЕЛЕНИЯ ДИСПЕРСИИ СРЕДНИХ МОМЕНТОВ ПРОХОЖДЕНИЯ ЗВЕЗД

Показано, что суммируя в определенном порядке выбросн одного внака между метками можно получить сумму невявок, происходящих от наложения флуктуаций на периодический сигнал. При суммировании выброс между нулевой и первой метками в сумму входит со своим знаком, у второго и третьего знак меняется на противоположний, четвертый со своим знаком и т.д. Указанный порядок суммирования исключает ошибку нульпункта и спливания меток м ошибку отступления от нормального режима. Суммирование происходит на реверсивном счетчике импульсов. Порядок суммирования автоматически регулируется двумя триггерами.

Иллюстр.: 4, табл.: 1, библиогр.: 5 назв.

Kopesvilkume

K. Šteins P. Rozenbergs

PALĪGIERĪCE VIDĒJĀ ZVAIGŽŲU TRANZĪTMOMENTA DISPERSIJAS APRĒĶINĀŠANAI

Pierādīts, ka, summējot noteiktā kārtībā vienas zīmes izsitienus sterp atbalsta impulsiem, var iegūt nessites periodiskam signalam er fluktuācijām. Summējot, izsitienam starp nulto un pirmo atbalsta impulsu, zīme nav jāmeina, izsitienām starp pirmo, otro un trešo atbalsta impulsu zīmes jāmeina uz pretējām, izsitienam starp trešo un ceturto atsbalsta impulsu zīme nav jāmeina utt. Norādītais summēšanas likums izslēdz nulpunkta kļūdu, impulsa nobīdes un izvirzes no normālā režima iespaidus. Summēšana tiek realizēta uz reversīva impulsa skaitītāja, ko automātiski regulē divi trigeri.

изгат интекняю и манибатай барино деплетное инпекса жимо воледон принензат то по потого по силат «сам инпессиональна инбессиона и мене одетност посто сам Систем инпессион инбессиона и менето посто ручения батам побыта инбессион по инверсионное управения очно и беритатай инпессион по инверсионно учистем берито и берито онго и менето по инвессиона и очето посто берито и берито онго и инбессион и инбессион и посто берито и берито онго и инбессион и инбессион и посто берито и приненения и инфессион и инфессион

Summary

K. Steins
P. Rozenbergs

DEVICE FOR DETERMINATION OF ERROR OF THE MEAN STAR TRANSIT MOMENTS

It is shown that by summation of lengths of positive or negative ejections between two following reference impulses we can obtain the sum of residuals in the problem of sine wave plus random noise. At the summation the ejection between the zero and the first reference impulses must retain its sign, the ejections between the first and second and between the second and third reference impulses get opposite signs, the one between the third and fourth reference impulses - the same sign again and so on. Such a summation eliminate the zero point error, the deviation from the normal state and the errors of intervals of reference impulses. The summation is being performed with a reversible impulses counter. The order of summation is being regulated automatically by two triggers.

ЛАТВИЙСКИЙ ОРДЕНА ТРУДОВОГО КРАСНОГО ЗНАМЕНИ TOCYTAPCTBEHHUN YHWBEPCHTET UM.II.CTYYKN YYEHHE BATINCKN TOM 190 ACTPOHOMNA BUTYCK 9 1973

УДК 522.98 М. П. Огринь ш

О НАСТРОЯКЕ ГЕНЕРАТОРА МЕТОК УСТРОЙСТВА ДЛЯ определения среднего момента прохождения звезд

При автоматическом определении среднего момента прохождения ввезды предложенным нами устройством [1.2] в зависимостт от склонения б должны формироваться метки с соответствующим периодом М. Для этого должен быть настроен генератор переменной частоты формирователя меток [2]. Настройка частоты генератора может быть осуществлена или непосредственно наблюдателем или автоматически. Если настройку генератора выполняет наблюдатель, то дополнительно не нагружается ось пассажного инструмента, но ручная настройка требует дополнительного времени и труда, что нежелательно, так как наблюдатель во время наблюдений очень загружен. Кроме того, ручная настройка может быть выполнена только приближенно т.е. по предварительным данным для б .Правда, эти данные все же достаточно точные для выполнения условий выбора М [2]. При автоматической настройке эта операция не требует дополнительного времени и настройка проводится со вначением б ,на которое установлена труба. При автоматической настройке; если пользоваться сельсинной системой передачи угла поворота дополнительно нагружается ось пассажного инструмента. Влияние этой нагрувки нужно возможности уменьшить подбором места устроиства на инструменте. Применяя генератор переменной частоты. синусоидальный сигнал преобразуется в прямоугольный и дальше частота следования делится делителем.состонщим из последовательно соединенных триггеров. В этом случае коэффициент деления делителя постоянный. При применении генератора переменной частоты, на стабильность частоты генерированных колебаний налагаются очень жесткие условия [2], правда, такая стабильность нужна лишь на время регистрации. К тому же необходимо периодически контролировать частоту. Этот вопрос также можно решить, выбирая постоянной частоту синусоидального сигнала, но меняя коэффициент деления делителя К. В этом случае также возможен как ручной, так и автоматический выбор К.т.е. настройка генератора меток. Для автоматического выбора К можно применить фотоэлектрический преобразователь угол - код [3,4], но ив-за зависимости M = Mc sec он получается довольно сложным. Поскольку допускается установление М в некотором интервале вначений [2], то удобнее установить вначение К по предварительным данным для б особенно при автоматизированных наблюдениях, когда значение К вацается в программе. Дальше описываются два варианта настройки периода меток.

Применение генератора переменной частоты

Рассмотрим автоматическую настройку частоты генератора сельсинной системой передачи угла поворота. Для передачи угла поворота пассажного инструмента использованы сельсины типа СС - 404 совместно с вубчатой передачей в целях повышения точности передачи угла поворота.

На рис. 1 дана схема устройства автоматической настройки частоты генератора формирования меток. На рисунке изображен только сельсин, настраивающий конденсатор переменной емкости /КПЕ/. Этот сельсин электрически свяван непосредственно со вторым сельсином, который зубчатой передачей свяван с осью пассажного инструмента. Сельсин, изображенный на рис. 1, посредством зубчатой передачи вращает диск специальной формы. При вращении диск передвигает стержень,

который в свою очередь вращает ротор переменного двухсекционного конденсатора. Этот конденсатор входит в обратную цепь RC генератора 121.

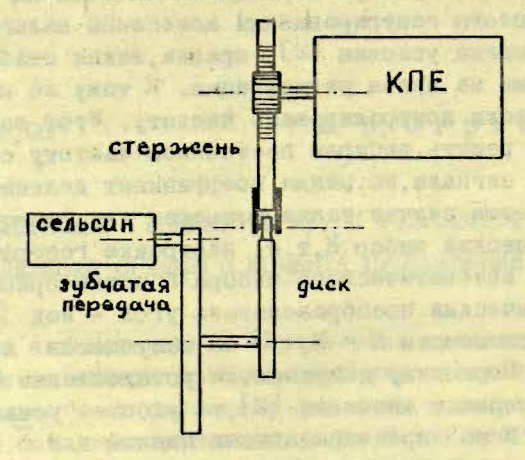


Рис. 1.

Частота генерируемых колебании обратно пропорциональна емкости конденсаторов, а период меток М, таким образом, прямо пропорционален емкости конденсаторов в обратной цепи [2].

Система передачи угла и механический преобравователь /диск, стержень/ должны обеспечить установление емкости конденсаторов пропорционально секансу угла наклона пассажного инструмента. Сельсинная система поворачивает диск специальной формы на угол $\phi(\phi \sim \delta)$. Диск должен иметь такую форму, чтобы при определенном δ была установлена емкость конденсаторов $C \sim \sec \delta$, где $C \sim \cot \delta$ общая емкость определяющая частоту генерируемых колебаний.

Таким образом, форма диска вависит от вида функции $C_n = f(\infty)$, где ∞ — угол поворота ротора переменного конденсатора, а C_n — емкость переменного конденсатора. От формы диска вависит изменение дополнительной на — грузки на ось инструмента в вависимости от δ . Чтобы

получить более равномерную дополнительную нагрузку на ось инструмента с изменением об и простую форму диска, была изменена форма пластин ротора переменного конденсатора так, что общая емкость переменного конденсатора с параллельно включенной емкостью в обратной цепи RC генератора была бы пропорциональна секансу угла поворота ротора конденсатора с.

При настройке RC генератора с таким переменным конденсатором период меток М~seca. На рис. 2 даны ревультаты экспериментального определения зависимости М от смещения стержня, вращающего ротор конденсатора / \ \ ~ ∞ /.Для сравнения дается на рис. 2 кривая М=Т, secpl. Т. равно 1,437 сек /М для экваториальной звезды в установке АО ЛТУ/, а р - коэффициент, позволя—

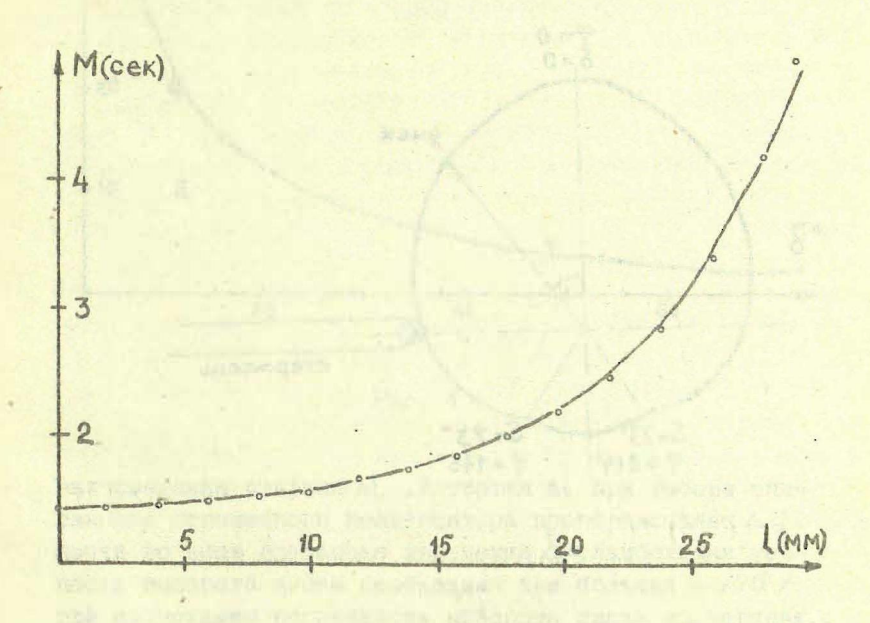


Рис. 2

Если выбрана такая форма пластин ротора конденсатора, то дальше можно определить приближенную форму диска. Диск должен быть симметричным относительно переменного радиуса, соответствующего значению $\delta = 0$, а его форма такая, что длина переменного радиуса $R = R_c - r\psi$, где $R_c - 8$ начение радиуса при δ и $\psi = 0$, а r - 10стоянная величина, зависящая от параметров передач.

На рис. З изображена форма диска. Она несколько отличается от расчетний, поскольку по расчетной линии должен перемещаться центр ролика, находящегося в конце стержня. Окончательная форма диска подгоняется экспериментально.

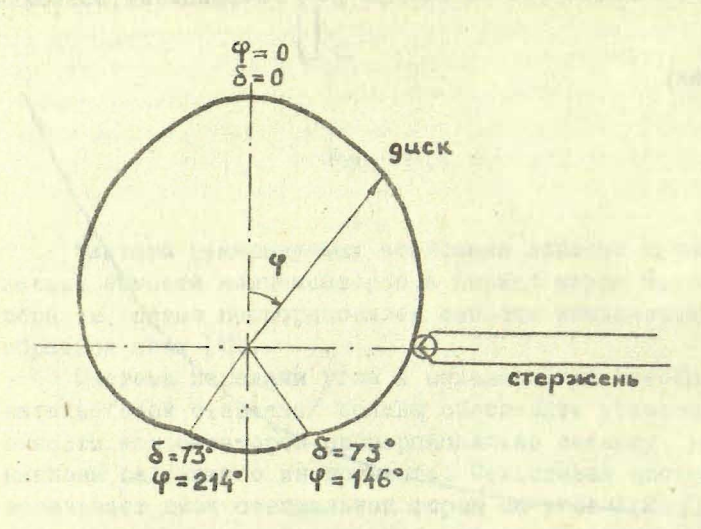


Рис. 3.

В интервале φ от 146° до \approx 14° ввезды не наблюдаытся. Этот интервал соответствует вначениям δ от 73° Оденим, с какой точностью должен поворачиваться диск. Очевидно, это будет зависеть от 8. Определенный интервал ДФ в районе 8 от 0° до 73° соответствует определенному интервалу вначений М. На рис. 4 дается интервал ДФ, соответствующий 4% М в зависимости от 8. С такой точностью должно быть установлено значение М [1,2]. Интервалу 0,04 М также соответствует интер-

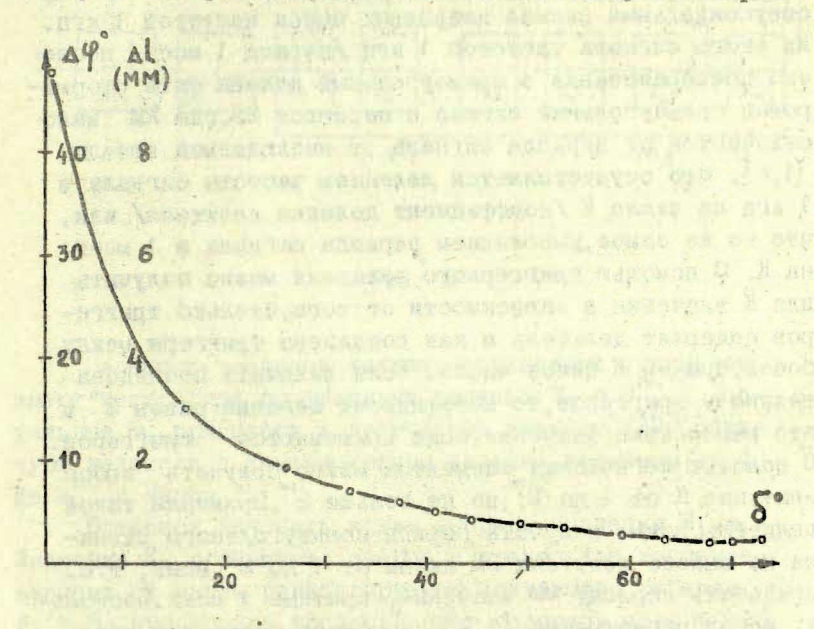


Рис. 4

вал смещения стержня Δ . Интервал Δ при выборе описанного переменного конденсатора пропорционален Δ ϕ почти во всем диапазоне изменения δ . Наибольщая точность поворота диска необходима при больших δ /70°/, где допустимая погрешность поворота диска составляет $\pm 2^\circ$.

\$2. Применение делителя с переменным коэффициентом деления

При формировании меток с помощью делителя с переменным коэффициентом деления на вход делителя подается сигнал постоянной стабильной частоты. Был использован синусоидальный сигнал кварцевых часов частотой 1 кгц. Из этого сигнала частотой 1 кгц /период 1 мсек/ после его преобразования в прямоугольный должен быть сформирован прямоугольный сигнал с периодом 2М,где 2М мало отличается от периода сигнала от наблюдаемой звезды [1,2]. Это осуществляется делением частоты сигнала в 1 кгц на число К /коэффициент деления делителя/ или. что то же самое, умножением периода сигнала в 1 мсек на К. С помощью триггерного делителя можно получить для К значения в зависимости от того, сколько триггеров содержит делитель и как соединены триггеры между собой причем К целое число. Если включить последовательно и триггеров, то коэффициент деления равен 2 м это наибольшее вначение, если применяются триггеров. С помощью логических элементов можно получить любое значение К от 1 до 2^m, но не больше 2th Применяя такой делитель, можно получать период прямоугольного сигнала на выходе делителя 2М любым от 1 до 2 мсек. т.е. придавать периоду 2М вначения, кратные 1 мсек. Поскольку метод регистрации [1,2] допускает некоторое отклонение М от полупериода сигнала от звезды [2], то целесообразно выбрать шаг дискретных вначений М не 1 мсек, а больше, так как это упрощает конструкцию делителя. С этой целью выберем К = К1К2, где К1 - постоянное число, а К можно придать дискретные значения 1,2,... .. Ко таком случае М можно будет придать значения, кратные Камсек. То, что выбрано К = КаКо, означает, что в делителе можно выделить два последовательно соединенных делителя, один с постоянным коэффициентом деления /К1/, а второй с переменным /К2/. На рис. 5 схематически изображен такой целитель состоящий из м

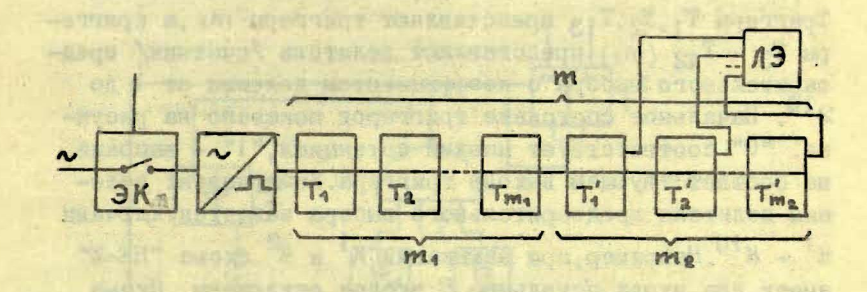


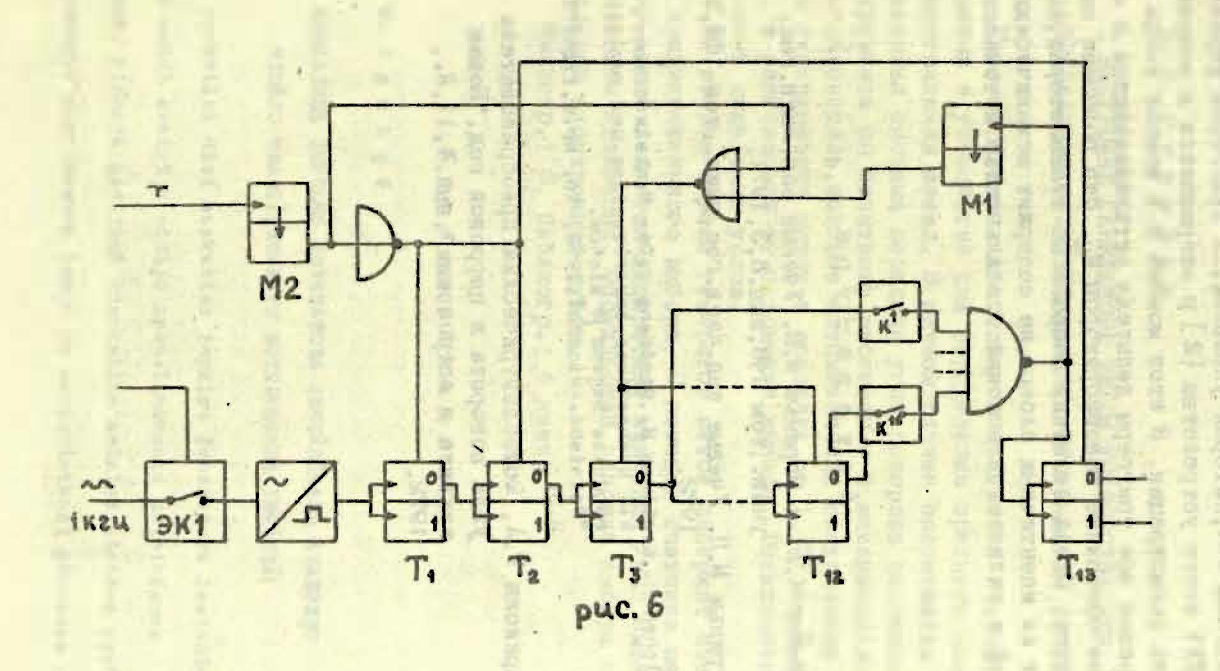
Рис. 5

Первые m_1 последовательно соединенных триггеров имеют постоянный коэффициент деления $K_1 = 2^{m_1}$, а остальные m_2 триггеров и логический элемент /ЛЭ/ образуют делитель с коэффициентом деления, меняемым от 1 до 2^{m_2} с шагом 1.

Остается выяснить, каким выбрать вначения K_1 и K_2 . Значение K_1 ограничено сверку и предельное значение зависит от числа регистрируемых контактов. Выберем $K_1 = 8$, что внолне удовлетворяет условиям, если n = 12 [2], поскольку шаг 8 мсек для M обеспечивает установление значений M с относительной погрешностью 0,5% для экваториальных звезд $T_0 = 1,437$ сек/ и 0,15% для ввезд с $\delta = 73^\circ/T \approx 5$ сек/. Максимальный необходимый коэфтициент деления $K_{max} = K_1 K_2$ мак зависит от того, с каким наибольшим δ наблюдаются звезды. В A0 ЛГУ наблюдаются звезды до $\delta = 73^\circ$, что соответствует $T \approx 5$ сек, поэтому делитель должен обеспечить максимальное значение M = 5 сек $/K_{max} = 5000/$, а $K_{2max} = 5000$ = 625. Так как максимальный коэфтициент делителя, состоящего из m_2 триггеров $K_{2max} = 2^{m_2}$, то m_2 вытеля, состоящего из m_2 триггеров $K_{2max} = 2^{m_3}$, то m_2 вытеля, состоящего из m_2 триггеров $K_{2max} = 2^{m_3}$, то m_2 вы

берем ив соотношения $2^{m_2} > 6.5 > 2^{m_2-4}$. Отсюда получаем, что $m_2 = 10$, а весь делитель полжен содержать 13 триг-геров.

На рис. 6 дается функциональная схема делителя. Триггеры Т1, Т2, Т13 представляют триггеры т1, а триггеры Т3 - Т12 (м2) представляют делитель /счетчик/ предварительного выбора с козфициентом деления от 1 до 210. Начальное состояние триггеров показано на рисунке. "0" соответствует низкий потенциал, "1" - высокий на соответствующем выходе триггера. Козфициент деления делителя предварительного выбора задается ключами к¹ - к¹⁰. Например, при замыкании к¹ и к² схема "НЕ-И" имеет два входа, остальные 8 входов отключены. Схема "НЕ-И" срабатывает, т.е. дает ниакий потенциал на выходе, если на всех входах имеется высокий потенциал. В данном случае после третьего отрицательного импульса на счетном входе триггера Та, на подключенных входах схемы "НЕ-И" будут высокие потенциалы. Отрицательный импульс на выходе схемы "НЕ-И" вапускает моновибратор М, который через схему "НЕ-ИЛИ" устанавливает триггеры Т3 - Т12 в исходное состояние, т.е. в данном случае возвращает в исходное состояние Т3 и Т4, и цикл повторяется. Отрицательный импульс на выходе схемы "HE-И" также меняет состояние Т₁₃. Таким образом одном из виходов Т13 получается прямоугольный импульс с периодом 8 • 3 = 24 мсек. Длительность импульса моновибратора Т должна быть меньше периода следования импульсов на входе Та. В этом случае коэффициент деления делителя предварительного выбора можно представить в виде двоичного числа 11. Любой коэффициент целения можно представить десятираврядным двоичным числом $K_2 = K^{10} K^9 \dots K^1$, где K принимают значение "1", если соответствующий ключ замкнут, и значение "0" если ключ разомкнут. Общий коэффициент деления К = К1К2 = 8К2 можно установить либо преобразователем угол - код, либо непосредственно наблюдателем, либо системой управления по программе при автомативированных наблюдениях.



Начало формирования меток определяется электронным ключом $\partial K1$, который управляется триггером управления ТУ1 всего устройства [2] и открывается в момент начала регистрации. В этот момент и в момент конца реристрации все триггеры делителя устанавливаются и исходное состояние моновибратором M_2 . Это повышает надежность. Схема делителя собрана на транвисторах, состоит ив идентичных блоков, не содержит механических частей и отличается высокий стабильностью и точностью.

Литература

- 1. Штейнс К.А. и Огриньш М.П. Ученые вап.Латв.гос. унив.,том 148,вып.6,3,1971.
- 2. Огрины М.П. Ученые эап.Латв.гос.унив.,том 169,3, 1972.
- 3. Walchen H., Kreiling H., Steffens B. Der Winkelkodierer als hochgenaues, zuverlassiges und zugleich robustee Lagema & sistem.
 "Feintehn.+Micron", 1972, 76, Nr.4, 172-177, 2,3.
- 4. Саркисян Р.А. Фотоэлектрический преобразователь угла поворота в цифровой код. "Новая техника в астрономии", вып. 4, 11, Л., 1972.

Ревюме

м. П. Огриньш

О НАСТРОЙКЕ ГЕНЕРАТОРА МЕТОК УСТРОЙСТВА ДЛЯ ОПРЕДЕЛЕНИЯ СРЕДНЕГО МОМЕНТА ПРОХОЖДЕНИЯ ЗВЕЗД

Рассматриваются два способа настройки генератора меток в устройстве для определения среднего момента прохождения звезд. В первом случае описывается сельсинная система передачи угла поворота пассажного инструмента по венитному расстоянию и механический преобразователь, которые автоматически настраивают период генерируемых меток в пределах от 1,437 до 5,000 сек. в вависимости от склонения ввезды. Оценивается точность отдельных узлов.

Во втором случае генератор меток содержит счетчик предварительного выбора. С помощью счетчика периоду меток задаются дискретные значения /шаг 8мсек/ в заданном диапазоне. Обсуждаются условия выбора оптимальной электронной схемы.

Иллюстр.: 6, библиогр.: 4 назв.

Kopsavilkums

M. 0 g r 1 9 8

ATSKAITES IMPULSU GENERATORA IESTĀDĪSANA ZVAIDZĪD VIDĒJO TRANZĪTMOMENTU NOTEIKSANAS IEKĀRTĀ

Apskatīti divi atskaites impulsu ģeneratora iestādīšanas veidi zvaigžņu vidējo tranzītmomentu noteikšanas iekšrtā. Pirmajā gadījumā aprakstīta selsīnu sistēma pasāzinstruments pagriešanas legķa pa zenītdistanci pārdevei un mehānisks pārveidotājs, kuri automātiski iestāda ģenerējamo takaites impulsu periodu robežās no 1,457 līds 5,000 s atkarībā no zvaigsnes deklinācijas. Novērtēta atsevišķu mezglu precizitāte.

Otrā gadījumā atskaites impulsu ģenerators satur priekšisvēles skaitlītāju. Ar skaitlītāja palīdzību atskaites impulsu periodam var iestādīt diskrētas vērtības (solis 8 m s) uzdotajā diapazonā. Diskutēti optimālas elektroniekās shēmas izvēles nosacījumi.

Summary

M. Ogrips

ON ALIGNMENT OF THE GENERATOR OF REFERENCE IMPULSES FOR DETERMINATION OF THE MEAN STAR TRANSITMOMENTS

Two various cases are considered of the alignment of the generator of reference impulses in the device for determination of value of the mean star transit moments. The selsyn system for transfer the turn angle in senith distance of the transit instrument and the mechanical transformer, automatically aligning the period of sequence of the generated reference impulses in the range from 1,457 to 5,000 sec in dependence from declination of the star, are described in the first case. Precision of the individual components are estimated.

The generator of reference impulses contains preset counter in the second case. The discrete values in the mentioned range (step 8 maes) are given to the period of reference impulses by means of the counter. Conditions for choosing the optimal electronic circuit are discussed.

ЛАТВИЙСКИЙ ОРДЕНА ТРУДОВОГО КРАСНОГО ЗНАМЕНИ FOCYMAPCTBEHHEM YHUBEPCUTET MM.II.CTYTKU YYEHHE BAHINCKI, TOM 190, ACTPOHOMIR, BHHIYCK 9, 1973

УДК 522,617.3 и 529.78 А. В. Иванов

K BOMPOCY OF ABTOMATUSALIMM MACCARHEX NHCTPYMEHTOB

Нами [1] было предложено при практическом осупествлении автоматизации уже построенных пассажных инструментов учитывать следующие условия: 1/ не следует размещать моторы на самом пассажном инструменте или на его стойке, 2/ желательно, чтобы во время реристрации вспомогательные механизмы были отсоединены от инструмента или его стойки, 3/ следует применять моторы с магнитной связью, чтобы вращающая часть могла быстро остановиться.

Согласно требованию 2 мотор, вращающий микрометрический винт для наведения изображения эвезды на дорожку должен находиться на столбе. Следовательно при перекладке пассажного инструмента в лагерах шестерни.через которые передается вращательный момент от мотора к горизонтальной оси, отсоединяются. В момент их соединения могут возникнуть большие напряжения поэтому в статье [1] рекомендуется применять шестерии с пилообразными вубами или допускать достаточне большой свободный ход. Для вращения зажимного винта соединяющего ричага комута с горизонтальной осью в статье [1] рекомендуется использовать относительное перемещение ложных лагерей при спускании и подъеме горизонтальной оси. Упомянутые два предложения на практике не дали ожидаемых результатов. Поэтому в настоящей статье предложен другой легко осуществимый вариант точной установки трубы по венитному расстоянию. Закрепление важимного винта предлагается производить при помощи электромагнита поступательным движением.

Вообще говоря, при помощи электромагнитов трудно совдать перемещения на большие расстояния, требующие большую мощность. В нашем случае конец важимного штифта может находиться на малом расстоянии, т.е. порядка десятой доли миллиметра от горивонтальной оси. Малые расстояния хороши тем, что важимной штифт за время своего перемещения не приобретает большого ускорения и, следовательно, не совдается удара в момент соприкосновения. На рис. 1 представлена схема установления важимного штифта.

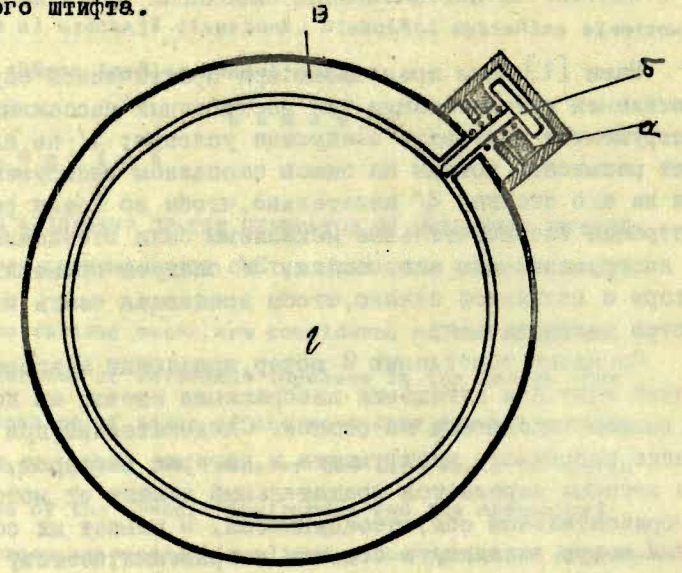
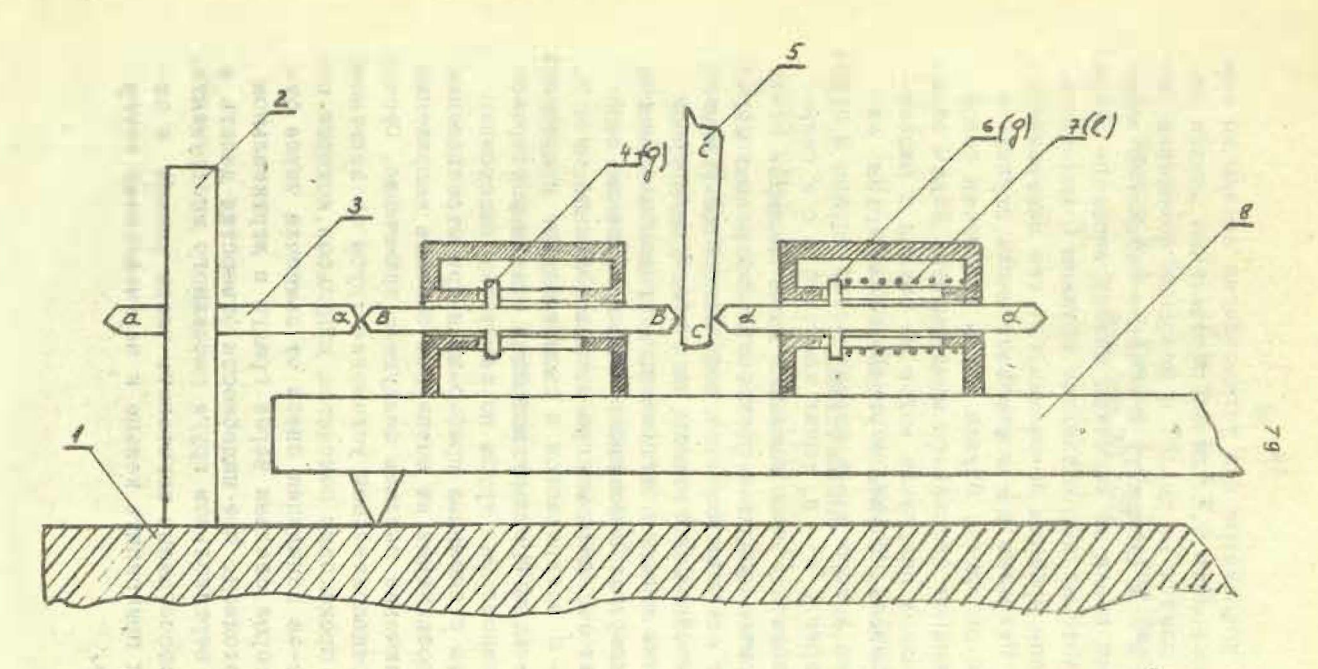


Рис. 1. а - кронштейн с электромагнитом, б - важимной штифт из мягкого железа, в - хомут, г - горизонтальная ось.

Практически был использован электромагнит пускового устройства ПМИ-О. Отсоединение хомута электромагнытным зажимным штифтом осуществляется почти мгновенно, а присоединение происходит при неподвижном состоянии рычага горизонтальной оси. На важимной штифт надета пружина, которая во время исключения электромагнита отодвигает конец штифта от горизонтальной оси.



Рмс. 2. Схема механизма для точного наведение. 1-основание для инструмента, 2-мотор, 3-палец мотора, 4 и 6- стопори, 5-рычаг хомута, 7-пружина, 8-станина инструмента.

.Схема устройства для установления звезды по зенитному расстоянию, т.е. схема перемещения рычага хомута с - с дается на рис. 2. В исходном положении палец мотора а - а отодвинут в крайнее положение влево и его правый конец не касается цилиндрического стержня в - в, который под давлением пружины (находится в своем левом крайнем положении, где его вадерживает стопор д . Стержень в - в скольвит вдоль втулки выревом для стопоров. Втулка черев кронштейн соединена со станиной пассажного инструмента. Таким обравом, в исходном положении мотор не связан с нассажным инструментом. В начале установления трубы на ввезду палец мотора а - а перемещается вправо и передвигает стержень в - в, рычаг хомута с - с и стержень d-d вправо. Одновременно с этим зажимной штифт соединяет рычаг хомута с горизонтальной осью, которан ив-за движет и рычага хомута поворачивается. В момент появления изображения звезды на широкой поперечной шели. зажимным штифтам отключается горизонтальная ось от рычага хомута. Также прекращается пвижение вправо. После этого палец мотора и следовательно, в - в, с - с и d - d возвращаются в свои исходные положения. Таким образом, во время регистрации звезды у устройства для установления трубы по зенитному расстоянию нет контакта с внешними приборами и при отсоединении и при присоединении не возникают опасные напряжения.

В заключение сделаем следующее примечание. Отсчет угла при предварительной установке трубы по зенитному расстоянию происходит подсчетом импульсов, которые получаются из-за попадания света от лампочки через отверстия, которые сделаны через градус в вертикальном круге, на фотодиод. Нет надобности отверстия делать в имеющемся вертикальном круге пассажного инструмента, а более целесообразно изготовить часть кольца с отверстиями и прикрепить кольцо к вертикальному кругу инструмента.

Литература

1. Штейнс К.А. и Иванов А.В. Уч. зап. Латв. гос. унив., том 169,30,1972.

Ревюме

А. Иванов

К ВОПРОСУ ОБ АВТОМАТИЗАЦИИ ПАССАЛНЫХ ИНСТРУМЕНТОВ

Предлагается важимной винт хомута горивонтальной оси пассажного инструмента ваменить важимным влектромагнитным штифтом. Предлагается также микрометрический винт для установления венитного расстояния ваменить цилиндрическим стержнем со стопором. Такая вамена повволяет автоматическую установку трубы по венитному расстоянию проводить бев остаточных внешних напряжений.

to recive the Manuscript organ 10; the particulations of

The largest our persons were to be the first our services.

Иллюстр.: 2, библиограф.: 1 назв.

Kopsavilkums

A. Ivanovs

PAR PASÄŽINSTRUMENTA AUTOMATIZĀCIJU

Tiek ieteikts pasääinstrumenta skrüvi,ar ko sasaista horisontälo ssi ar sviru senitdistances precisai iestädišanai,apmainit ar elektromagnätisku spiedstieni,bet senitdistances precisas iestädišanas mikrometrisko skrüvi aizvietot ar cilindrisku stieni ar iscilni. Tädä gadijumä automätiska senitdistances iestädišana norit bes paliekošas
piepüles.

Summery

A. Ivanova

ON THE AUTOMATION OF THE PHOTOELECTRIC TRANSIT INSTRUMENT

It is recommended to replace the clamp-screw of the collar for the horizontal exis of the transit instrument by an electromagnetic joint-pin. It is also recommended to replace the micrometric screw for the zenith-distance by a cylindrical rod with a catch.

Such a system provider setting the instrument into the senith distance of a star without remnant stress.

ЈАТВИЙСКИЙ ОРДЕНА ТРУДОВОГО КРАСНОГО ЗНАМЕНИ ГОСУДАРСТВЕННЫЙ УНИВЕРСИТЕТ ИМ.П.СТУЧКИ YYEHDE BATINCKI, TOM 190 ACTPOHOMUH, BUILYCK 9, 1973

УДК 522.982 Э.Я. Каупуш

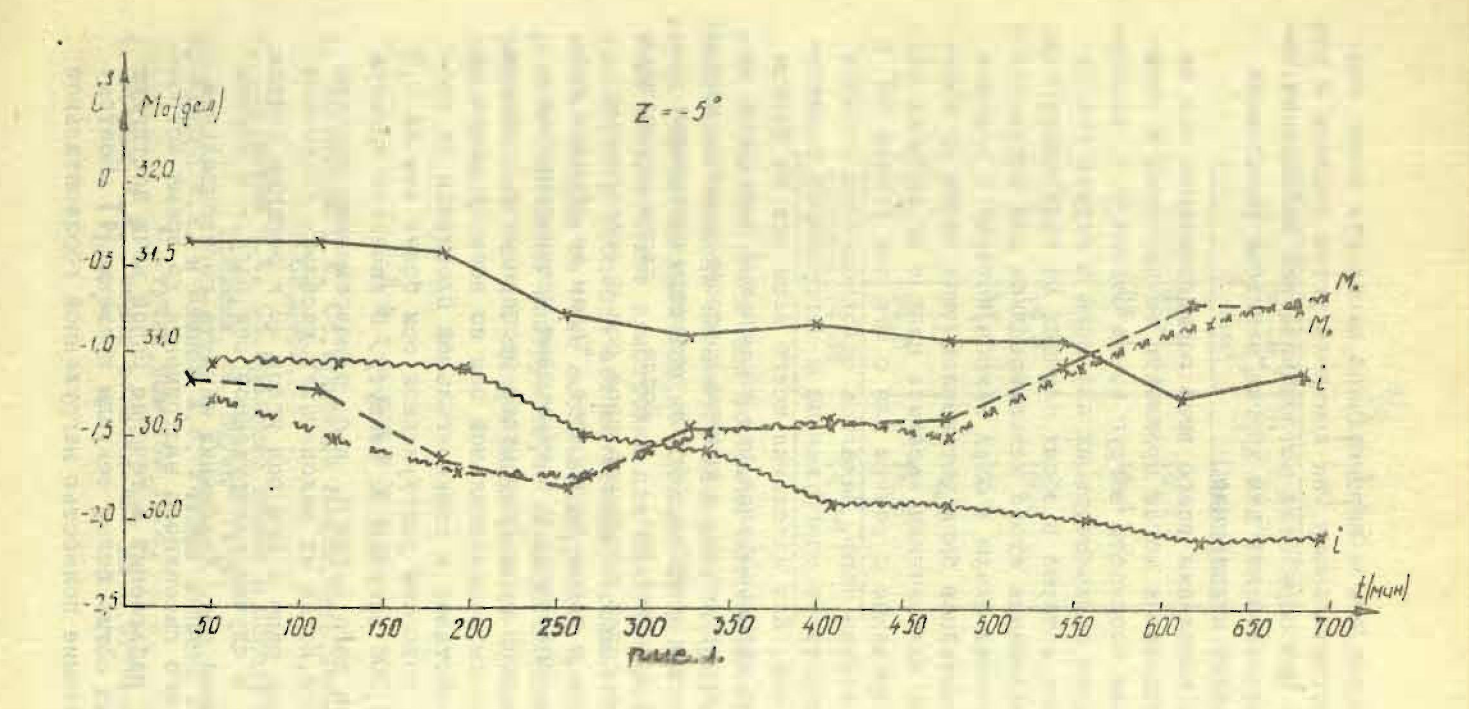
К ВСПРОСУ О НАБЛЮДЕНИИ ПАССАЖНЫМ ИНСТРУМЕНТОМ БЕЗ РАЗГРУЗОЧНОГО МЕХАНИЗМА

Исслепования устойчивости горизонтальной оси пассажного инструмента в горивонтальной плоскости в других обсерваториях показали, что повороты горизонтальной оси вокруг отвесной линии ZZ' уменьшались в 10 раз если во время астрономических определений времени полностью выключался разгрузочный механизм [1,2]

В настоящее время осуществляется полная автоматизация пассажного инструмента АПМ-10 № 580003 Астрономической обсерваторией Латвийского государственного университета им.П. Стучки. В данном случае пропесс полной автомативации-это процесс имитации работы наблюдателя, требующий осуществления ряда механических приспособлений [3] . Если для данного инструмента оказалось бы целесообразным работать с полностью выключенным разгрузочным механизмом, тогда это можно было бы осуществить вместе с остальными перестойками, из-за этого комплекс механических приспособлений стал бы более громоздким. Нами были исследованы изменения наклонности і горизонтальной оси в вертикальной плоскости и повороты ее вокруг отвесной линии. т.е. изменения азимута при работе с. включенным разгрузочным механизмом и со всем весом оси на лагеры подставок при различных зенитных расстояниях

для относительно быстрого выключения действия разгрузочного механизма нами был сделан прибор, состоящий из платформы на вертикально поставленный

винт. Подставляя прибор под грузом разгрувочного меканизма и вывинчивая или ввинчивая вертикальный винт, весь грув разгрузочного механизма или поднимался вверк налагая весь вес горизонтальной оси на лагеры подставки или опускался внив до своего нормального состояния и снова включался разгрузочный механизм. Изменения наклонности і горивонтальной оси нассажного инструмента определялись с помощью накладного уровня инструмента для различных зенитных расстояний с перекладкой горизонтальной оси при каждом зенитном расстоянии. Для каждого венитного расстояния последовательно сперва определялась наклонность при включенном разгрузочном механизме, а сразу вслед на этим с выключенным разгрузочным механизмом. В каждом приеме было сделано 10 таких серий определений і .Серии повторялись черев один час, а промежуток времени между определения наклонности с включенным и выключенным разгрузочным механизмом для данного зенитного расстояния длился 10 минут. На рис. 1 показан результат определения наклонности і горизонтальной оси из 10 серий наблюдений для Z = -5°. Непрерывной ломаной линией соединены значения наклонности горизонтальной оси в случае включенного разгрузочного механизма, а волнистой ломаной линией соедены значения наклонности в случае выключенного разгрузочного механизма. когда горизонтальная ось всем весом опирается на лагеры подставок. Наклонность нагруженной горизонтальной оси другая, чем в случае выключенного разгрувочного механивма. В обоих случаях наклонность меняется со временем. Соответствующими прерывистыми ломаными линиями показано изменение места нуля уровня М. в случае разгруженной и нагруженной горизонтальной оси. В обоих случаях в пределах точности определения места нуля уровня совпадают. Это может указывать на то, что в промежуток времени, в течение которого определяется наклонность разгруженной и нагруженной горизонтальной оси, в системе уровня никакие заметные изменения не происходили. В таком случае отличия в значениях наклонности разгруженной и нагруженной го-



ризонтальной оси в вертикальной плоскости можно считать действительными. Они контролируются уровнем и учитываются при обработке астрономических наблюдений. Подобные исследования для других зенитных расстояний

подтверждают изложенное.

При наложении всего веса горизонтальной оси на лагеры подставок могли произойти ее повороты в горивонтальной плоскости вокруг линии отвеса.т.е. изменения азимута отличные от их значения в случае разгруженной оси, которые в обоих случаях не контролируются. Для исследования этого использовались два оптиметра с ценой деления шкалы в один микрон, которые с помощью двух кронштейнов были установлени так, чтобы их измерительные наконечники касались цапф в их рабочих местах одновременно с севера или с юга под углами 90° к верхним точкам чапф. Делались оцновременные отсчеты обоих оптиметров разгруженной и нагруженной горизонтальной оси. Для наложения всего веса оси на лагеры подставок использовался уже упомянутый подъемный механиям. Эксперимент, в течение которого менялись местами наблюдатели и менялись местами оптиметры повторялся несколько десятков раз. После этого осуществлялась перекладка горизонтальной оси и эксперимент повторился в таком же порядке. Таким же образом эксперимент повторялся с оптиметрами устанавленными с южной стороны цапф. Результаты эксперимента показали, что повороты горизонтальной оси со всем ее весом на лагеры подставок в горизонтальной плоскости не превосходят повороты разгруженной оси более чем на 0,3 мк или 0,006 секунды по азимуту. В качестве примера приведена табл. 1, где и, и и, одновременные отсчеты оптиметров, когда их наконечники касались восточной и западной цапф с юга под углом 90° к верхним точкам. разгр. - в случае разгруженной оси, нагр. - в случае нагруженной оси. Изменения авимута горизонтальной оси данного пассажного инструмента во время астрономических наблюдений в течение одной ночи достигают нескольких сотых долей секунды времени [4] .Поэтому осуществление полностью нагруженной горизонтальной

No	(nE-NW)	(ne-nw) Hazp.
1-45-86	14,1	14,3
2	14,2	14,1
3	14,3	14,3
4	14,5	14,3
5	14,4	14,3
6	14,4	14,2
7	14,5	14,3
Среднее	14,34	14,26

оси на лагеры подставок во время астрономических определений времени незаметно изменяло бы величину азимута горизонтальной оси, но сделало бы более громоздкими механические пристройки для имитации работы наблюдателя в процессе автоматизации пассажного инструмента. Исходя из этих соображений, решено автоматизировать пассажный инструмент, не налагая полный вес горизонтальной оси на лагеры подставок во время наблюдения ввезд.

Литература

ing statistions aspirant as a parking that satisfical

- 1. Соловьева Л.А. Со. Вращение Земли. Киев, изд-во АН УССР, 1963.
- 2. Соловьева Л.А. Сб. Вращение Земли и определение времени. М. "Наука", 1969.
- 3. Птейнс К.А. и Иванов А.В. Ученые записки ЛГУ им. П.Стучки, том 169, 1972.
- 4. Штейнс К.А. Ученые записки ЛГУ им П. Стучки, том 96, 1967.

Ревюме

Э. Я. Каупуш

К ВОПРОСУ О НАБЛЮДЕНИИ ПАССАЖНЫМ ИНСТРУМЕНТОМ БЕЗ РАЗГРУЗОЧНОГО МЕХАНИЗМА

Исследованы изменения горизонтальной оси в вертикальной и горизонтальной плоскостях в случае разгруженной оси и в случае наложения всего веса оси на лагеры подставок. В обоих случаях наклонность горизонтальной оси в вертикальной плоскости различна, но реальна и контролируется накладным уровнем. Изменения горизонтальной оси в горизонтальной плоскости в обоих случаях разлит ются меньше чем на 0,3 мк или на 0,006 сек. по авимуту.

Иллюстр.: 1, табл.: 1, библиогр.: 4 назв.

Kopsavilkums

B. Kaupu a

PAR NOVĒROŠANU AR PASĀŽINSTRUMENTU BEZ ATSLODZES MEHĀNISMA

Izpātītas horizontālās ass izmaiņas vertikālajā un horizontālajā plaknē atslogotas ass gadījumā un gadījumā, kad viss ass svars guļas uz atbalstu lageriem.Horizontālās ass slīpums vertikālajā plaknē abos gadījumos ir atšķirīgs, bet abos gadījumos tas ir reāls un to kontrolē ar uzkarināmo līmeni. Horizontālās ass izmaiņas horizontālajā plaknē abos gadījumos atsķiras mazāk kā par 0,3 pv vai 0,006 sek. azimutā.

Summary

E. Kaupuša

TRANSIT INSTRUMENT OBSERVATIONS WITHOUT SUPPORT

Alterations of the horizontal axis in the vertical and horizontal planes have been investigated in two cases:

1) if the axis is not weighted and 2) if the weight of the whole axis is borne by the supporting bearings. The inclination of the horizontal axis in the vertical plane is different in each case, but in both cases it is real and may be controlles by means of a suspended level. The azimuth alterations of the horizontal axis in the horizontal plane differ in both cases by less than 0,3 the coresponding to 0,006 seconds of time.

manhar av variable delegation against a

Содержание

1.	А.В.Иванов. АСУ пассажного инструмента	3
2.	К.А.Штейнс, М.П.Огриньш, А.В.Иванов. Об исполь- вовании передвижной дорожки при наблюдении	
	прохождения звезд	24
3.	К.А.Штейнс, П.П. Ровенберг. Приспособление для автоматического определения дисперсии средних моментов прохождения ввезд	54
4.	М.П.Огриньш. О настроике генератора меток устроиства для определения среднего момента прохождения ввезд	
5	А.В. Иванов. К вопросу об автомативации нас-	04
υ.	сажных инструментов	77
6.	д.н.Каупуш. К вопросу о наблюдении пассажным инструментом без разгрузочного механизма	83
	Contents	
1.	A. Ivanovs. system of automatic steering for the	
	transit instrument	3
2.		
	K.Steins, M. Ogrius, A. Ivanova. On using of the	
	K.Steins, M.Ogrins, A.Ivanovs. On using of the movable track in observations of the star	
		24
3.	movable track in observations of the star	24
ð.	movable track in observations of the star transitmoments	
	movable track in observations of the star transitmoments	
	movable track in observations of the star transitmoments	
	movable track in observations of the star transitmoments	54
4.	movable track in observations of the star transitmoments	54
4.	movable track in observations of the star transitmoments	54
4.	movable track in observations of the star transitmoments	54

Ученые записки, том 190 Астрономия. Выпуск 9 АСУ ПАССАЖНОГО ИНСТРУМЕНТА

Редакторы: М. Абеле, Э. Каупуш Технический редактор С. Плауде Корректор II. Розенберг

Редакционно-издательский отдел ЛГУ им. Петра Стучки Рига 1973

Подписано к печати 17.05.1973 ЯТ 19380 Зак. № 480. Ф/о 60х84/I6. Бумага № 1. Физ.п.л. 6,0. Уч.-и.л. 4,3 Тираж 500 экз. Цена 43 коп.

Отпечатано на ротапринте, Рига-50, ул. Вейденбаума, 5 Латвийский государственный университет им. П. Стучки

Содержание

1.	А.В.Иванов. АСУ пассажного инструмента	3
2.	К.А.Штеинс, М.П.Огриньш, А.В.Иванов. Об исполь- вовании передвижной дорожки при наблюдении	
	прохождения звезд	24
3.	К.А. Штейнс, П.П. Розенберг. Приспособление	
	для автоматического определения дисперсии средних моментов прохождения ввезд	54
4.	М.П.Огриньш. О настроике генератора меток	
	устройства для определения среднего момента прохождения ввезд	64
5.	А.В.Иванов. К вопросу об автоматизации пас-	
-	сажных инструментов	77
6.	д.н.Каупуш. К вопросу о наблюдении пассажным	83
	инструментом без разгрузочного механизма	00
	Contents	
	o o n c o n c s	
	TO THE PROPERTY OF THE PERSON AND TH	
1.	A. Ivanovs. System of automatic steering for the	
1.	A. Ivanovs. System of automatic steering for the transit instrument	3
		3
	transit instrument	3
	transit instrument	
2.	transit instrument	
2.	transit instrument	24
2.	transit instrument	224
2. 4.	transit instrument	224

Ученые записки, том 190

Астрономия. Выпуск 9 АСУ ПАССАЖНОГО ИНСТРУМЕНТА

Редакторы: М.Абеле, Э.Каупуш Технический редактор С.Плауде Корректор II.Розенберг

Редакционно-издательский отдел ЛГУ им. Петра Стучки Рига 1973

Подписано к печати 17.05.1973 ЯТ 19380 Зак. 480. Ф/о 60х84/16. Бумага МІ. Физ.п.л. 6,0. Уч.-и.л. 4,3 Тираж 500 экз. Цена 43 коп.

Отпечатано на ротапринте, Рига-50, ул. Вейденбаума, 5 Латвийский государственный университет им. П. Стучки

HON EA BHO!



Цена 43 коп.